



Università degli Studi di Padova

DIPARTIMENTO DI INGEGNERIA DELL'INFORMAZIONE

Corso di Laurea Magistrale in Ingegneria Elettronica

**Studio del protocollo Keeloq e implementazione di un
attacco con analisi di potenza**

Candidato:

Nicola Barbon

Matricola 603209-IL

Relatore:

prof. Lorenzo Vangelista

Abstract

Keeloq cryptographic algorithm is used in many commercial applications to achieve a good level of security in wireless transmissions. It is included in a lot of gate openers and anti-theft car systems. A lot of theoretical cryptanalysis literature is available on this algorithm, however practical applications of the literature's findings are very limited. In this study a different approach that employs a side-channel technique for analyzing Keeloq real systems is used. This technique, based on Differential Power Analysis, allows to discover secret information from the transmitter and consequently to duplicate the transmitter device, making Keeloq systems less secure. This work shows successful attacks on HCS30X commercial devices.

Indice

1	Introduzione	1
2	Il keeloq	3
2.1	Keeloq: descrizione dell'algoritmo	3
2.2	Implementazioni del Keeloq	6
3	Le tipologie di attacco applicate al Keeloq	15
3.1	Attacchi software	16
3.2	Attacchi hardware	18
3.3	Attacchi DPA: una descrizione generale	22
4	Power analysis	25
4.1	Descrizione dell'attacco	25
4.1.1	Passo 1: Scelta di un valore intermedio dell'esecuzione dell'argoritmo	25
4.1.2	Passo 2: Misurazione del consumo di potenza e allineamento tracce	25
4.1.3	Passo 3: Calcolo dei valori intermedi ipotetici	26
4.1.4	Passo 4: Mappatura dei valori intermedi sui valori di consumo di potenza	27
4.1.5	Passo 5: Confronto tra i valori ipotetici di consumo con le tracce di potenza	27
4.2	Modello della distanza di Hamming	28
4.3	Valutazione basata sulla correlazione	29

4.4	La traccia di potenza	30
4.5	Contromisure per gli attacchi DPA	34
5	Applicazione attacco DPA	37
5.1	Modello per l'attacco DPA	37
5.2	Setup di misurazione	38
5.3	Acquisizione delle misurazioni	41
5.4	Post-elaborazione	44
5.5	Analisi tracce	45
5.6	Composizione della traccia	47
5.7	Algoritmo di attacco DPA	49
5.7.1	Centratura dei valori	53
6	Sviluppi futuri	57
6.1	Attacco DPA al ricevitore	57
6.1.1	Analisi aspetti hardware	58
6.1.2	Analisi degli aspetti software	60
6.2	Conclusioni	62
A	Risultati attacco DPA	65

Capitolo 1

Introduzione

L'algoritmo di crittografia Keeloq è largamente usato per sistemi di sicurezza come ad esempio i transponder di tipo Radio Frequency Identification (RFID) e i sistemi antifurto di ultima generazione, cosiddetti immobilizer, ma soprattutto per impianti di apertura radio utilizzati nell'automazione di cancelli e controllo accessi. Per questo vasto utilizzo, la sicurezza dell'algoritmo è cruciale e perciò la crittoanalisi svolta sul Keeloq è stata molto approfondita dalla comunità di ricerca internazionale. Dopo i primi studi, svolti da Bogdanov [1], sono stati presentati molti attacchi analitici che mostravano i punti deboli dell'algoritmo. Gli studi fatti su implementazioni Identify Friend or Foe (IFF), permettono di clonare un trasmettitore dopo aver acquisito un minimo di 216 coppie chiaro-cifrato e con qualche giorno-macchina di calcolo. Solo in alcuni casi di implementazione particolarmente semplici si è inoltre in grado di ricavare la chiave madre che consente di creare nuovi trasmettitori.

Malgrado i risultati positivi degli studi sul Keeloq, l'impatto sul mondo reale di questi attacchi è stato piuttosto limitato. Infatti, come prima cosa, tutti questi attacchi non sono applicabili all'applicazione Rolling Code dell'algoritmo che è la più utilizzata nei sistemi di apertura remota (che forma la gran parte del mercato Keeloq). Infatti non è possibile ottenere le coppie chiaro-cifrato poiché il messaggio in chiaro è custodito e inaccessibile nel dispositivo trasmettitore. In secondo luogo, la chiave master che permette la creazione di nuovi dispositi-

tivi è situata nel ricevitore e nelle applicazioni commerciali è molto complessa da ricavare e per questo l'attacco risulta piuttosto limitato. Per questi motivi l'analisi sulla vulnerabilità del Keeloq nelle applicazioni reali è stata portata avanti su altri versanti, che potessero mettere alla prova i sistemi di sicurezza basati sull'algoritmo in applicazioni commerciali. Questi nuovi attacchi basati su tecniche side-channel che vengono qui studiate, hanno portato ad attacchi di successo sulla famiglia di controllori Microchip HCS30X e sono in via di studio su implementazioni software del Keeloq.

In questo studio vedremo in dettaglio l'algoritmo Keeloq e una panoramica sui tipi di attacchi che sono stati fatti per testarne la robustezza. Dopo di questo, vedremo in dettaglio l'attacco basato su Differential Power Analysis (DPA), in cosa consiste e come può essere applicato. L'attacco ha avuto successo ed è stato testato su più di un dispositivo della famiglia HCS30X, risultando quindi adatto ad applicazioni Rolling Code ed egualmente IFF.

Capitolo 2

Il keeloq

2.1 Keeloq: descrizione dell'algoritmo

Il keeloq è un blocco di cifratura basato su trame da 32 bit e su una chiave di cifratura a 64 bit. La sua struttura contiene uno shift register lungo 32 bit e una funzione di feedback con cinque bit in ingresso ed uno solo in output.

L'algoritmo proprietario è stato creato a metà degli anni Ottanta dal professor Gideon Kuhn, la parte di protocollo è stata seguita dal Dr. Frederick Bruwer, CEO di Nanoteq e l'implementazione hardware dal Dr. Willem Smith, di Nanoteq. Nel 1995 Microchip acquistò l'algoritmo per 10 milioni di dollari e venne implementato su encoder e decoder a codice variabile (detti Rolling code oppure Code Hopping) come la famiglia di dispositivi NTQ105/106/115/125D/129D e HCS101/2XX/3XX/4XX/5XX. Il keeloq venne subito utilizzato in dispositivi di accesso remoto da aziende come Fiat, GM, Honda, Volvo, Volkswagen etc. e in maniera ancora più diffusa negli ultimi anni, sui dispositivi di accesso con radiocomando per abitazioni e luoghi pubblici.

Per capire il funzionamento del Keeloq definiamo una trama di 32 bit $Y^{(i)} = (y_{31}^{(i)}, \dots, y_0^{(i)}) \in V_{32}$, dove $V_n = GF(2)^n$ e $y_j^{(i)} \in GF(2)$ descrive lo stato del bit j -esimo al ciclo i -esimo. Definiamo poi allo stesso modo $K^{(i)} = (k_{63}^{(i)}, \dots, k_0^{(i)}) \in V_{64}$, dove $k_j^{(i)} \in GF(2)$ identifica lo stato del bit j del registro K al ciclo i . Come si può vedere in Fig. 2.1 la codifica può essere sintetizzata

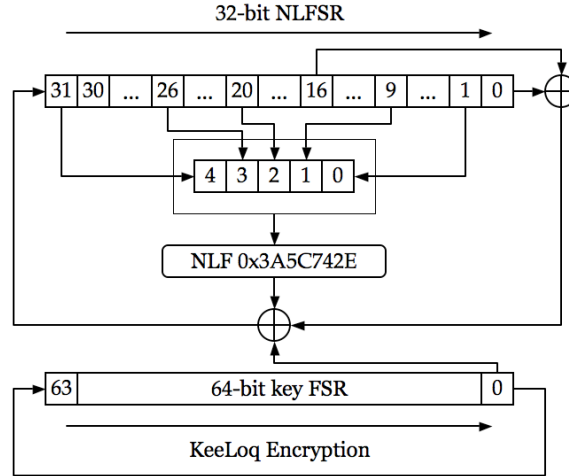


Figura 2.1: Schema di funzionamento del Keeloq nella fase di crittatura

in questo algoritmo:

- Calcolo del bit di feedback: $\varphi = NLF(y_{31}^{(i)}, y_{26}^{(i)}, y_{20}^{(i)}, y_{16}^{(i)}, y_0^{(i)}) \oplus y_{16}^{(i)} \oplus y_0^{(i)} \oplus k_0^{(i)}$
- Rotazione della trama e inserimento del feedback: $R^{(i+1)} = (\varphi, y_{31}^{(i)}, \dots, y_1^{(i)})$
- Rotazione della chiave: $K^{(i+1)} = (k_0^{(i)}, k_{63}^{(i)}, \dots, k_1^{(i)})$.

Il processo di codifica prevede che, al ciclo 0, il registro da 32 bit della trama contenga il testo in chiaro e che il registro della chiave contenga la chiave utilizzata dal Keeloq. L'esecuzione dell'algoritmo viene fatta 528 volte e nel registro da 32 bit, alla fine di tutti i cicli, sarà contenuto la trama cifrata. La funzione non lineare è $0x3A5C742E$ e può essere mappata su una tabella, come mostrato nel documento [2], oppure può essere scritta come $F(a, b, c, d, e) = d \oplus e \oplus ac \oplus ae \oplus bc \oplus be \oplus cd \oplus de \oplus ade \oplus ace \oplus abd \oplus abc$. I bit 1, 9, 20, 26 e 31 vengono inseriti in input nella funzione non lineare. L'output sarà poi messo in ingresso ad uno XOR assieme al bit 16 e 0 del registro della trama e al bit 0 del registro della chiave. Il risultato di queste operazioni

zioni ciascuno, che implicano un giro completo della chiave, e un blocco da 16 permutazioni, che compie solo un quarto di giro alla chiave.

Questo algoritmo bene si presta ad una facile implementazione hardware. La sua struttura richiede pochi componenti da implementare a livello fisico: un registro da 32 bit con collegamenti a sei posizioni fisse (bit in ingresso alla NLF e allo XOR), un registro da 64 bit con un collegamento ad una posizione fissa del bit (in ingresso allo XOR) e una look-up table (LUT) da $2^5 = 32$ bit. Dato che la NLF ha soltanto 5 ingressi, l'implementazione tramite LUT risulta essere semplice e poco dispendiosa in termini di hardware dedicato.

2.2 Implementazioni del Keeloq

L'algoritmo Keeloq viene integrato in diversi dispositivi, a seconda delle applicazioni, con metodologie diverse. Per questo motivo, l'algoritmo si trova implementato sia in hardware dedicato, sia in diversi microcontrollori via software. Questo permette di utilizzare il Keeloq nel modo che si ritiene più opportuno per le proprie necessità. Nel caso che andremo a studiare, trattandosi di radiocomandi avremo modo di vedere entrambe le implementazioni del Keeloq: nella parte del radiocomando troveremo un microcontrollore dedicato della famiglia Microchip HCS 1XX/2XX/3XX, mentre nella stazione ricevente la situazione si presenta diversa. Infatti la parte ricevente dovendo gestire le operazioni di apprendimento e di gestione di più radiocomandi si trova a dover avere un microcontrollore più flessibile e potente del semplice HCS e quindi utilizza un microcontrollore con all'interno implementato il Keeloq in maniera software. In alcune soluzioni, tuttavia, si trovano dispositivi che non seguono questa suddivisione e sempre più spesso i radiocomandi hanno al loro interno microcontrollori generici che, dovendo gestire funzionalità sempre più complesse, hanno integrato al loro interno una versione software del Keeloq senza avvalersi di un chip HCS separato. Inoltre Microchip fornisce altri dispositivi come ad esempio decoder per ricevitori come i chip HCS 5XX, oppure come i microcontrollori con la funzione Keeloq implementata via hardware come la famiglia PIC 12F635/636/639 e altri dispositivi, come gli HCS 4XX, che hanno funzioni di

decoder ed encoder integrati.

In questo studio andremo a vedere prima di tutto i dispositivi HCS 300 e HCS 301 che sono simili e hanno caratteristiche di funzionamento pressochè uguali. Questi, essendo molto diffusi nei radiocomandi prodotti da molte case che utilizzano il Keeloq, hanno una grossa importanza e dalla loro sicurezza dipende molto la sicurezza di molti impianti dotati di Remote Keyless Entry (RKE).

L'HCS 301, e l'analogo HCS300, è un encoder a codice variabile (Rolling code) progettato per i sistemi RKE sicuri. Esso si presenta in un package Parallel Dual-in-Line Package (PDIP) o Small-outline Integrated Circuits (SOIC) a 8 piedini, i quali permettono di avere la gestione di 4 pulsanti e un led ed è equipaggiato con un'uscita Pulse-width Modulation (PWM). Come si può vedere dal diagramma dell'HCS 301 in Fig. 2.3, il chip è fornito di una Electrically Erasable Programmable Read-Only Memory (EEPROM) dove sono salvati la chiave di cifratura, il numero seriale e le informazioni di configurazione. La memoria, non accessibile da nessun collegamento esterno, è programmabile, ma protetta dalla scrittura e lettura. Questo consente di prevenire ogni possibile tentativo di leggere la chiave o altre informazioni dalla memoria.

La generazione della chiave da 64 bit, che è inserita nella memoria del trasmettitore all'atto della programmazione, può essere fatta in diversi modi. Solitamente si tende a seguire la procedura di generazione della chiave del radiocomando, consigliata dalla Microchip, che permette di creare chiavi diverse per ogni radiocomando, ma tutte ricostruibili con una sola chiave. Infatti partendo da una chiave master, chiamata chiave del produttore, e dal numero seriale del telecomando, con un algoritmo di generazione scelto inizialmente, si produce la chiave del radiocomando. In questo modo il ricevitore, con la sola chiave del produttore e con la conoscenza dell'algoritmo di generazione, sarà in grado di riconoscere tutti i radiocomandi precedentemente creati. Questo incrementa notevolmente la flessibilità delle soluzioni che si possono creare, senza togliere nè la retrocompatibilità con i ricevitori prodotti meno recentemente dalla stessa casa, nè la sicurezza del rolling code.

La creazione delle chiavi può essere fatta sostanzialmente in tre modi differenti,

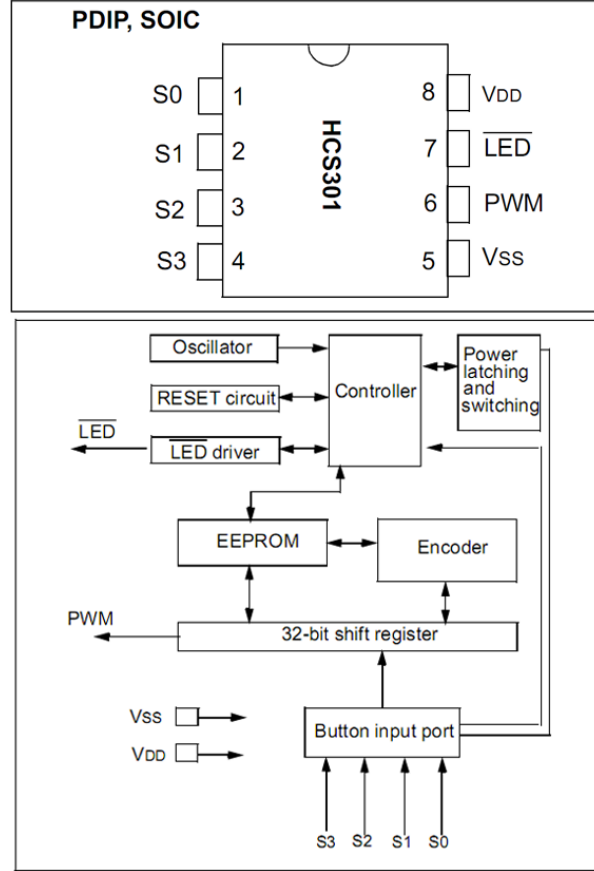


Figura 2.3: Schema a blocchi del dispositivo HCS 301

a seconda del sistema e delle misure che si intendono adottare:

- Metodo semplice: utilizza una chiave unica
- Metodo normale: utilizza il numero seriale del radiocomando per generare la chiave
- Metodo sicuro: utilizza il Seed per generare la chiave.

La soluzione del metodo semplice è la meno laboriosa ma meno sicura in quanto, se un radiocomando viene analizzato e da esso estratta la chiave, tutti i

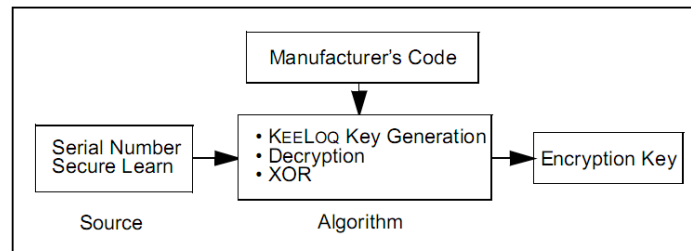


Figura 2.4: Schema di generazione delle chiavi dispositivo

radiocomandi programmati in questo modo vengono a perdere la loro chiave segreta e quindi la loro sicurezza.

Il metodo normale e il metodo sicuro prevengono questa eventualità gene-

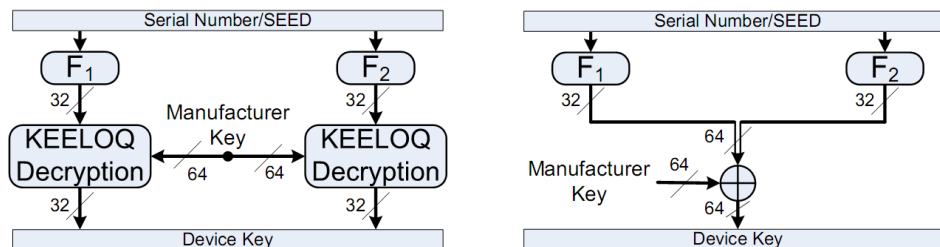


Figura 2.5: Schema di generazione chiavi dispositivo dalla chiave costruttore

rando una chiave diversa per ogni radiocomando. Con il metodo normale la chiave viene generata a partire dal numero seriale che è presente in chiaro in ogni trasmissione. In questo caso si viene a conoscenza delle informazioni da cui l'algoritmo di generazione parte per costruire la chiave. In molti casi, se l'algoritmo non è molto sicuro può essere pericoloso poichè si potrebbe ricostruire la chiave del produttore, ammesso che si sia venuti in possesso anche della chiave del dispositivo. Il metodo sicuro si differenzia per questa ultima parte, infatti il seed è una parola fissa di 32 bit che viene trasmessa al posto dei 32 bit cifrati della normale trasmissione durante la procedura di apprendimento del radiocomando nella parte ricevente. In questo modo, anche se è nota la chiave del

dispositivo, non è possibile recuperare la trasmissione del seed così facilmente se non si è in possesso del radiocomando, a differenza di prima in cui il seriale poteva essere preso in chiaro durante ogni utilizzo del radiocomando.

Durante la fase di apprendimento, la stazione ricevente si ricava la chiave dispositivo dal seed o dal numero seriale. Fatto questo, decodifica una trasmissione controllando il valore del discriminatore e verificando se è valido. In tal caso, la parte ricevente riconosce di aver calcolato la chiave correttamente e la memorizza assieme al seriale del dispositivo e al suo contatore progressivo.

Nell'utilizzo del trasmettitore, ad ogni pressione su un pulsante viene trasmesso un preambolo, un header e successivamente 66 bit, che comprendono una parte cifrata di 32 bit e una parte in chiaro di 34 bit. Come si vede dalla Fig. 2.6, la parte in chiaro prevede un bit di Repeat, un bit di Vlow, 4 bit di Button

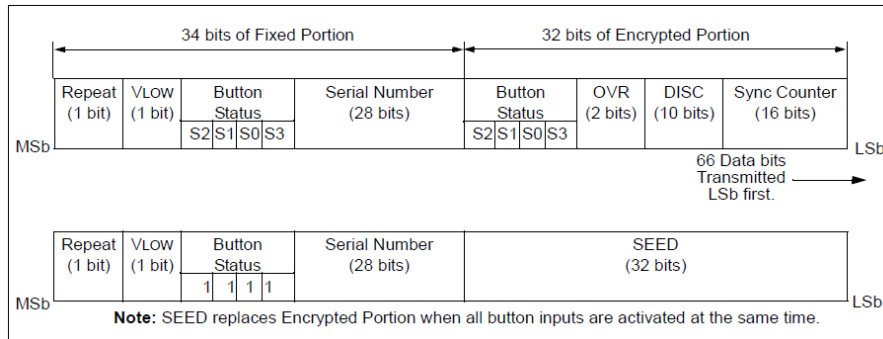


Figura 2.6: Organizzazione del pacchetto trasmesso

Status e il Serial Number di 28 bit. Il bit di Repeat viene tenuto basso solo alla prima trasmissione dello stesso codice e alto alle successive. Il bit di Vlow viene trasmesso alto quando la tensione del trasmettitore è bassa cosicché la stazione ricevente possa informare l'utilizzatore che il radiocomando necessita di cambiare le batterie. Il Button status indica il pulsante che è stato premuto e il serial number, che è il numero seriale univoco del radiocomando. La parte cifrata contiene al suo interno lo stato dei pulsanti premuti, come nella parte in chiaro, i bit di overflow, che solitamente sono settati a 1 e possono servire ad estendere il range dei valori del contatore qualora non fossero sufficienti,

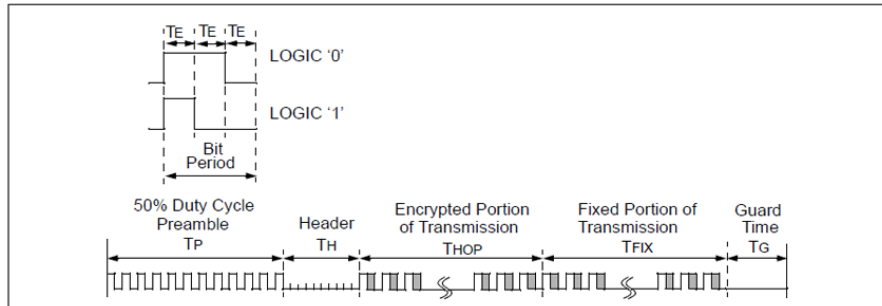


Figura 2.7: Formato di codifica di trasmissione dei bit

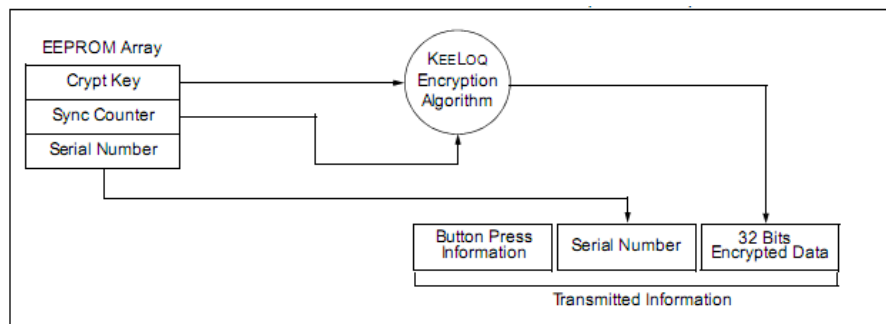


Figura 2.8: Schema di generazione del messaggio trasmesso

e il valore discriminante. Questo valore è solitamente uguale ai 10 bit meno significativi del numero seriale ed è utilizzato dal ricevitore per verificare la decodifica. Il discriminante viene solitamente confrontato con quello salvato in memoria dalla parte ricevente durante l'apprendimento, viene usato per verificare che la decodifica sia corretta e che la trasmissione ricevuta contenga informazioni valide e correttamente decifrate. Gli ultimi 16 bit della trasmissione sono quelli del contatore progressivo (Synchronization Counter o Sync Counter). Questi ultimi 32 bit sono trasmessi cifrati e solo dopo la decodifica sarà possibile ottenere le informazioni contenute in questi bit. Il Keeloq facilita il mascheramento delle informazioni in quanto, mentre da una trasmissione all'altra cambia solitamente solo qualche bit, la trasmissione dopo la cifratura

cambia per più del 50 % rispetto alla precedente, rendendo impossibile un'associazione diretta tra i bit cifrati e quelli in chiaro.

Durante il normale funzionamento di un sistema, formato per semplicità da un radiocomando e da una stazione ricevente, ad ogni pressione di un pulsante del radiocomando viene inviata la trasmissione e successivamente incrementato il contatore (Sync counter). Quando alla stazione ricevente arriva un messaggio,

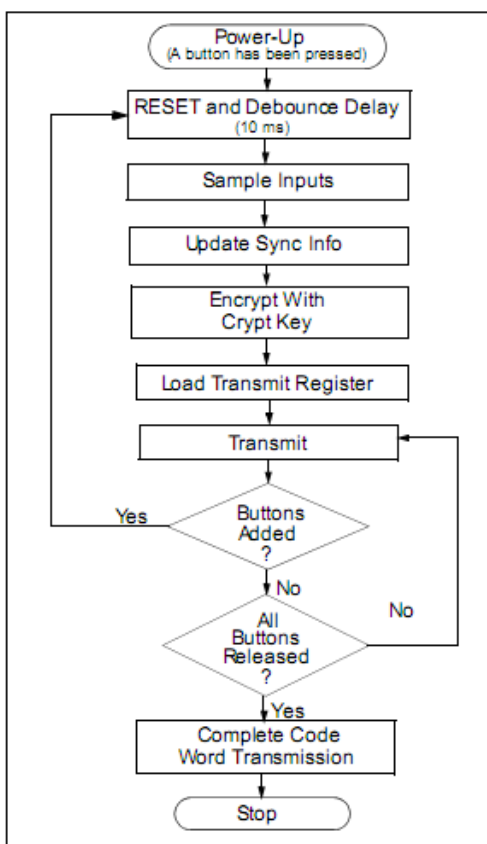


Figura 2.9: Schema del ciclo di trasmissione di un trasmettitore

essa ne decodifica la parte cifrata. Questa viene confrontata con il valore del contatore memorizzato e viene valutato in quale parte si trova della cosiddetta finestra di sincronizzazione. Quest'ultima si può vedere in Fig. 2.10 è divisa in tre aree: una parte a singola operazione, una parte a doppia operazione e

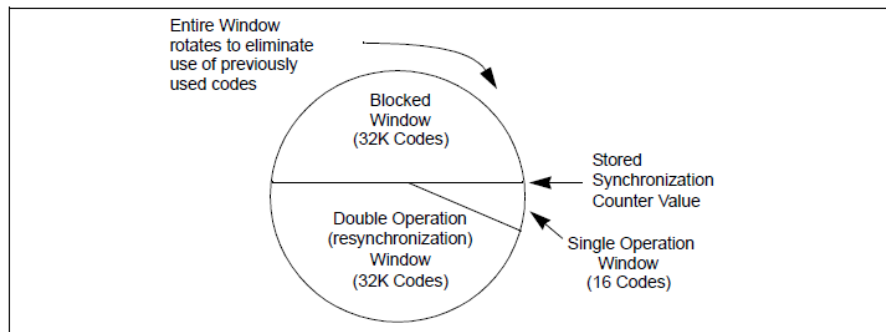


Figura 2.10: Finestra di sincronizzazione dei codici seriali

una parte bloccata. L'ampiezza di queste viene suggerita da Microchip, tuttavia può essere modificata a seconda delle esigenze del progettista. La parte a singola operazione comprende i 16 o più codici successivi a quello memorizzato nella parte ricevente. Questi codici sono quelli validi per attivare il comando inviato dal trasmettitore senza ulteriori verifiche. Può capitare infatti che il radiocomando venga premuto erroneamente facendo avanzare così il contatore. Nella finestra a doppia operazione, anche detta di risincronizzazione, parte dalla fine della parte a singola operazione e contiene circa la metà dei codici possibili (circa 32000). In questa finestra l'utente dovrà premere due volte il pulsante perchè la stazione ricevente verifichi l'identità del trasmettitore e si risincronizzi sul valore del contatore inviato dal radicomando. La restante zona di codici è una zona bloccata, ovvero comprende i restanti codici che la parte ricevente ignora. Ogni volta che viene ricevuto un codice valido la finestra di sincronizzazione ruota. In questo modo il codice appena ricevuto viene scaricato, rientrando nella finestra dei codici già usati e quindi ignorati dalla parte ricevente. Perchè lo stesso codice possa venire riutilizzato la finestra di sincronizzazione dovrà ruotare compiere un intero giro (quindi 64000 volte) per riportare il codice nella finestra a singola operazione.

Capitolo 3

Le tipologie di attacco applicate al Keeloq

Benchè la progettazione dell'algoritmo Keeloq risalga ai primi anni Ottanta, la prima criptoanalisi venne pubblicata da Bogdanov solo nel febbraio 2007 [3]. Questo attacco, di tipo software, si basa su alcune proprietà del Keeloq che vedremo in seguito. Solitamente gli attacchi fatti su questi algoritmi mirano in genere a recuperare la chiave che utilizza il Keeloq per cifrare le comunicazioni. In molti casi si dispone sia del testo in chiaro, che di quello cifrato, quindi è già noto il contenuto del messaggio che non ha in sè grande valore. In queste applicazioni, in cui il messaggio cifrato è monouso, non è importante conoscerne il contenuto, ma emulare la cifratura per generare così le trasmissioni future. Per questo motivo è necessario conoscere la chiave che diventa l'obiettivo di tutti gli attacchi che descriveremo. Ottenere la chiave significa emulare perfettamente il trasmettitore e rendere inefficiente la sicurezza del sistema.

Gli attacchi fatti sul Keeloq si possono dividere in due grandi categorie, che vanno a concentrarsi su aspetti diversi del sistema Keeloq: da una parte abbiamo gli attacchi software che sfruttano le proprietà di costruzione dell'algoritmo nel tentativo di decodificarlo più o meno efficacemente. Dall'altra abbiamo un attacco di tipo hardware che lavora sull'implementazione fisica dell'algoritmo. Dallo studio del dispositivo fisico e dal suo funzionamento cerca di ricavare la

chiave.

3.1 Attacchi software

Una tabella riassuntiva degli attacchi software praticati è presente in Fig. 3.1

Attack Type	Complexity		
	Data	Time	Memory
Time-Memory Trade-Off	2 CP	$2^{42.7}$	≈ 100 TB
Slide/Algebraic	2^{16} KP	$2^{65.4}$?
Slide/Algebraic	2^{16} KP	$2^{51.4}$?
Slide/Guess-and-Determine	2^{32} KP	2^{52}	16 GB
Slide/Guess-and-Determine	2^{32} KP	$2^{50.6}$	16 GB
Slide/Cycle Structure	2^{32} KP	$2^{39.4}$	16.5 GB
Slide/Cycle/Guess-and-Det. ^a	2^{32} KP	(2^{37})	16.5 GB
Slide/Fixed Points	2^{32} KP	2^{27}	> 16 GB
Slide/Meet-in-the-Middle	2^{16} KP	$2^{45.0}$	≈ 2 MB
Slide/Meet-in-the-Middle	2^{16} KP	$2^{44.5}$	≈ 3 MB
Slide/Meet-in-the-Middle	2^{16} CP	$2^{44.5}$	≈ 2 MB
Time-Memory-Data Trade-Off	68 CP, 34 RK	$2^{39.3}$	≈ 10 TB
Related Key	66 CP, 34 RK [⊗]	negligible	negligible
Related Key	512 CP, 2 RK [⊗]	2^{32}	negligible
Related Key/Slide/MitM	2^{17} CP, 2 RK [⊕]	$2^{41.9}$	≈ 16 MB

Time complexities are expressed in full KeeLoq encryptions (528 rounds).

KP: known plaintexts; CP: chosen plaintexts

RK[⊗]: related keys (by rotation); RK[⊕]: related keys (flip LSB)

^a The time complexity for this attack is based on very unrealistic memory latency assumptions and hence will be much higher in practice.

Figura 3.1: Una panoramica degli attacchi software conosciuti sul Keeloq

Il primo attacco, costruito da Bogdanov, ha una complessità temporale di 2^{52} cicli di criptatura Keeloq, utilizza 16 GB di memoria e richiede l'intero codebook ovvero 2^{32} coppie chiaro-cifrato. Questo attacco si basa sulla tecnica slide [4, 5] e su un'approssimazione lineare della funzione Booleana di feedback [3].

Courtis et al. nel loro lavoro hanno applicato tecniche algebriche per fare la criptoanalisi del Keeloq: riportano nei loro studi alcuni attacchi slide-algebraic andati a buon fine. Un attacco algebrico può andare a buon fine mediamente in 2.9 secondi, quando viene fornita una slid pair. Poiché però non c'è una

possibilità di identificare a priori una slid pair dall'insieme dei campioni, l'attacco viene ripetuto 2^{32} volte, una per ogni coppia generata con i 2^{16} elementi del codebook. Gli autori descrivono anche un possibile attacco che necessita dell'intero codebook (2^{32}), richiedendo una complessità temporale di 2^{27} cicli di criptatura, tuttavia con una probabilità di successo del 44 %. [6]

Una versione aggiornata dell'attacco di Bogdanov è pubblicata in [1]. In questo lavoro la complessità temporale (2^{50}) è diminuita di poco rispetto all'inizio e necessita ancora dell'intero codebook. In media gli attacchi si collocano su una fascia con complessità temporale attorno ai 2^{50} e con un utilizzo di risorse rilevanti oltre che all'utilizzo dell'intero codebook.

Un attacco innovativo, che pur avendo una complessità temporale non molto inferiore (2^{45}), ha un utilizzo minimo di memoria e utilizza soltanto metà codebook è quello di Indesteege et al. Questo attacco, come la maggior parte, si basa sempre sullo slide attack, tuttavia a differenza degli altri si basa su un nuovo approccio chiamato meet-in-the-middle che permette all'attacco di essere di facile implementazione e di prestarsi bene alla parallelizzazione. [7]

La caratteristica che più di tutte accomuna gli attacchi software finora accennati è che essi necessitano di avere il codebook per funzionare. La tabella delle coppie di parole da 32 bit in chiaro e cifrate, non è di facile reperibilità ed è causa di una forte limitazione sulle possibili applicazioni di questi attacchi.

I protocolli di autenticazione sviluppati sul Keeloq sono due: il protocollo - Keeloq Hopping Code e quello Keeloq Identify Friend or Foe (IFF). Entrambi utilizzano un contatore segreto di 16 bit per identificare il trasmettitore. Le differenze consistono nella modalità in cui il testo viene generato e criptato. Infatti nell'Hopping Code il testo in chiaro viene generato all'interno del trasmettitore, criptato e poi spedito alla parte ricevente per la decodifica e l'autenticazione. Il protocollo IFF invece è un semplice protocollo di interrogazione-risposta. In questa modalità la stazione ricevente spedisce il testo in chiaro al trasmettitore, questo lo codifica con la chiave e invia il testo cifrato alla parte ricevente. La decodifica che verrà fatta verificherà l'autenticità del trasmettitore e la correttezza della chiave.

La differenza sostanziale di questi due tipi di autenticazione è data dal fatto che nell'IFF il testo in chiaro viene trasmesso come pure quello cifrato. In questo modo possono essere raccolti entrambi e creare il codebook. Questo discrimina i casi in cui gli attacchi software possono essere effettuati, infatti con l'Hopping Code abbiamo a disposizione soltanto il testo cifrato, il che impedisce di avere il dizionario cifrato-in chiaro necessario per gli attacchi software.

3.2 Attacchi hardware

Quando parliamo di dispositivi crittografici intendiamo dispositivi che implementano un algoritmo di crittografia e conservano al loro interno la chiave crittografica. Riuscire ad entrare in un dispositivo crittografico significa estrarre la chiave del dispositivo. Gli attacchi a questi dispositivi vanno a valutare le caratteristiche degli stessi per estrarre la chiave utilizzando le svariate tecniche sviluppate nel tempo. Un primo criterio di classificazione degli attacchi è capire quando un attacco è attivo o passivo:

- **Attacchi passivi:** in un attacco passivo il dispositivo crittografico lavora in parte o totalmente nel modo normale di funzionamento. La chiave è rivelata tramite l'osservazione delle proprietà fisiche come ad esempio il tempo di esecuzione o il consumo di potenza.
- **Attacchi attivi:** in questo attacco gli input o il contesto di funzionamento sono manipolati per ottenere un comportamento anomalo del dispositivo o per manometterlo affinché il funzionamento riveli informazioni sulla chiave.

Il secondo criterio per suddividere gli attacchi è in base alle interfacce che vengono sfruttate nell'attacco. I dispositivi crittografici hanno diverse interfacce fisiche e logiche. Ad alcune di queste interfacce si può aver accesso facilmente, mentre altre possono essere usate solo con attrezzature speciali. A seconda delle interfacce usate si possono distinguere attacchi invasivi e non invasivi. Tutti questi attacchi possono essere passivi o attivi.

- **Attacchi invasivi:** un attacco invasivo è l'attacco più forte che può essere fatto contro un dispositivo crittografico. In un attacco di questo tipo non ci sono limiti su quello che si può fare sul dispositivo per rivelare la sua chiave segreta. Un attacco invasivo inizia tipicamente con il depackaging del dispositivo. Successivamente, si accede a diversi componenti con una stazione di sondaggio. Questa parte dell'attacco è passiva solo se la sonda è usata per misurare i segnali dei dati, ad esempio in un bus. L'attacco diventa attivo se si utilizzano le sonde per alterare i valori e di conseguenza la funzionalità del chip. Questa tipologia di attacchi è molto potente, tuttavia necessita di un equipaggiamento tipicamente costoso e quindi non viene praticata molto spesso.
- **Attacchi semi-invasivi:** negli attacchi semi-invasivi il dispositivo viene comunque tolto dal package, tuttavia non viene effettuato nessun contatto elettrico con il chip cosicché lo strato di passivazione rimane intatto. L'obiettivo di questo attacco è di leggere il contenuto di una cella di memoria senza usare il normale circuito di lettura. Per questo gli attacchi attivi mirano a causare un errore nel dispositivo tramite fonti elettromagnetiche o di raggi X. Le apparecchiature richieste da questi attacchi non sono molto costose, tuttavia lo sforzo per portare a termine tutto l'attacco è piuttosto alto e trovare i punti in cui effettuare l'attacco richiede tempo e una notevole esperienza.
- **Attacchi non invasivi:** in attacchi non invasivi il dispositivo è essenzialmente analizzato senza modificarlo, usando le interfacce che sono direttamente disponibili. Il dispositivo non è alterato permanentemente e in seguito non vi resta traccia dell'attacco. La maggior parte di questi attacchi può essere fatta con equipaggiamenti poco costosi e per questo pongono un reale problema di sicurezza su questi dispositivi. In particolare gli attacchi passivi e non invasivi hanno ricevuto molte attenzioni durante gli ultimi anni. Questi attacchi si riferiscono solitamente ad attacchi di tipo side-channel. I tre tipi più importanti sono: attacchi timing, attacchi power analysis e attacchi elettromagnetici (EM). Il concetto alla base di

questi tre attacchi è quello di determinare la chiave segreta di questo dispositivo misurando il suo tempo di esecuzione, il suo consumo di potenza o il suo campo elettromagnetico. Ci sono inoltre alcuni casi di attacchi side-channel attivi che hanno come obiettivo quello di generare un errore nel chip senza toglierlo dal packing. Questi errori possono essere causati da glitch del clock, da glitch di potenza o dal cambiamento della temperatura dell'ambiente.

Nella letteratura sono riportati molti attacchi praticati sul Keeloq, la maggior parte di tipo software. Questa tipologia di attacchi è tuttavia adatta al protocollo IFF del Keeloq e non applicabile quindi alla modalità code hopping che risulta la più diffusa nelle applicazioni commerciali e nel caso dei radiocomandi per automazioni, come trattato in questo lavoro. Per questo ci focalizzeremo su un attacco di tipo power analysis.

Gli attacchi che utilizzano la power analysis hanno ottenuto molte attenzioni poichè sono molto potenti e si possono praticare in maniera relativamente semplice. Proprio per questo pongono un problema rilevante sulla sicurezza dei dispositivi crittografici. Oggigiorno per lo sviluppo e l'implementazione dei moderni dispositivi crittografici è molto importante conoscere la power analysis per adottare le giuste contromisure. I dispositivi non protetti possono essere penetrati con il minimo sforzo.

Come già accennato, il principio base di un attacco che utilizza la power analysis si basa sul fatto che ci sono delle informazioni relative al funzionamento del dispositivo crittografico che sono a disposizione di chi pratica l'attacco (Fig. 3.2). Infatti nel consumo di potenza si possono riconoscere due tipi di informazioni: quelle dipendenti dai dati elaborati e quelle dipendenti dalle operazioni effettuate. Poichè i dispositivi sono costituiti da transistor, che agiscono come interruttori controllati in tensione, l'azionamento di questi provoca un flusso di cariche che è modulato in base alle operazioni svolte. La potenza consumata dal dispositivo può essere quindi direttamente collegata al funzionamento interno.

Negli attacchi Simple Power Analysis (SPA), l'attaccante osserva direttamente il consumo di potenza del sistema. L'ammontare dell'energia consumata

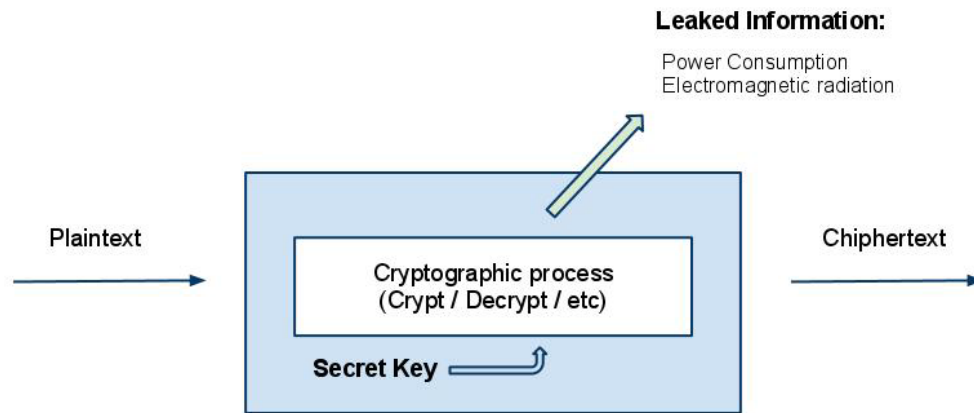


Figura 3.2: Informazioni disponibili su un dispositivo crittografico

varia in base alle istruzioni eseguite nel microprocessore. Nella traccia possono venir identificate macro aree relative ai differenti blocchi di operazioni, come i vari cicli di Data Encryption Standard (DES) o operazioni di RSA (algoritmi molto studiati e analizzati con la power analysis), poichè il funzionamento del processore cambia significativamente durante le diverse parti di elaborazione di questi algoritmi. Ingrandendo la traccia possono essere identificate le singole operazioni. Per esempio nelle analisi dell’RSA con un attacco SPA vengono lette nella traccia parti diverse che rivelano le differenti operazioni di moltiplicazione ed elevamento al quadrato. Tuttavia molti dispositivi crittografici sono stati resi immuni ad attacchi SPA senza troppe difficoltà.

La parte alta della Fig. 3.3 mostra tutti i 16 cicli di crittografica DES e la permutazione finale. La traccia in basso è una vista dettagliata del secondo e terzo ciclo di DES dove si possono distinguere le operazioni all’interno dei singoli cicli.

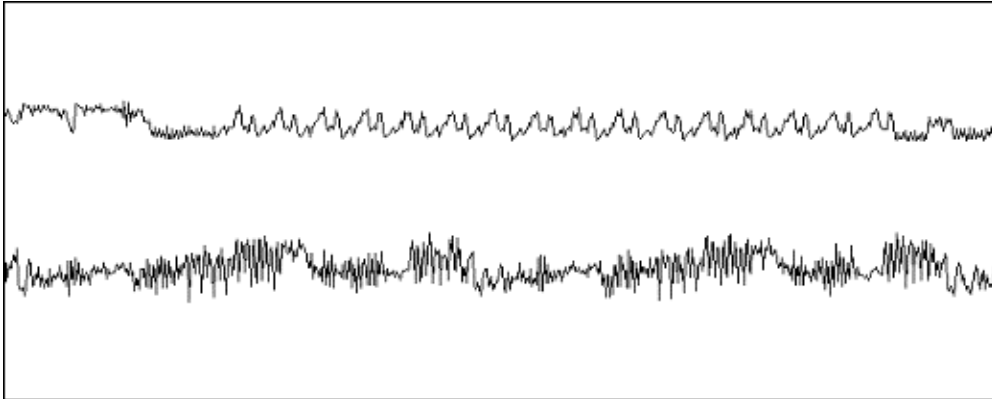


Figura 3.3: Scansione del consumo di potenza di una smart card in un ciclo di crittografia DES

3.3 Attacchi DPA: una descrizione generale

Gli attacchi che usano la Differential Power Analysis (DPA) sono molto più potenti di quelli SPA e più difficili da prevenire. Mentre nell'SPA viene effettuata un'indagine visiva sulla traccia di potenza per identificarne le differenti fluttuazioni, l'attacco DPA utilizza un'analisi statistica e una tecnica di correzione di errore per estrarre le informazioni relative alla chiave segreta. Nelle prime fasi di una DPA vengono acquisite ed allineate le tracce di potenza mentre il dispositivo sotto attacco sta svolgendo una codifica. In aggiunta bisogna registrare o il testo cifrato in uscita dal dispositivo di cifratura o il testo in chiaro in ingresso, dipendentemente da quale di questi due si può venire a conoscenza. Successivamente bisogna individuare nelle tracce dei punti intermedi fissi che siano dipendenti dalla chiave, che cambiano al variare del testo in chiaro che viene fatto elaborare al dispositivo. Questi punti intermedi devono anche poter essere calcolati combinando la parte della chiave che stiamo cercando e il testo in chiaro o cifrato che abbiamo registrato. Supponiamo infatti che, quando vengono processati questi valori, alcune informazioni riguardanti la cifratura possano essere rilevate nel consumo di potenza che viene registrato. La parte successiva dell'attacco prevede la costruzione di un modello che stimi il consu-

mo di potenza del dispositivo in base alla chiave che dobbiamo trovare. Questo modello può essere costruito in vari modi, i più utilizzati e più efficienti sono quelli che vanno a valutare la distanza di Hamming o il peso di Hamming. Il modello andrà a calcolare i valori associati ai punti intermedi delle tracce di potenza cambiando la parte della chiave che stiamo valutando. In questo modo per ogni combinazione dei bit della chiave (se valuto 8 bit avrò 256 combinazioni diverse) avrò un valore corrispondente e relativo al consumo di potenza del dispositivo. Ovviamente, quando la chiave inserita nel modello è corretta, i valori risultanti saranno maggiormente correlati alle tracce di potenza registrate. In questo modo si troveranno i valori corretti della chiave. Successivamente valuteremo in maniera più dettagliata i vari passaggi per condurre un efficiente attacco DPA.

Capitolo 4

Power analysis

4.1 Descrizione dell'attacco

Vediamo ora in dettaglio la strategia di attacco che è utilizzata per tutti i DPA. Essa consiste di cinque passi.

4.1.1 Passo 1: Scelta di un valore intermedio dell'esecuzione dell'algorithm

Il primo passo in un attacco DPA consiste nel scegliere un valore intermedio dell'algorithm di crittografia che è eseguito nel dispositivo. Questo valore deve essere una funzione $f(d, k)$, dove d rappresenta i dati noti che vengono elaborati e k una piccola parte della chiave. I risultati intermedi che hanno queste proprietà possono essere utilizzati per rivelare la chiave k . Nella maggior parte dei casi d è il testo in chiaro o cifrato.

4.1.2 Passo 2: Misurazione del consumo di potenza e allineamento tracce

Il secondo passo è misurare il consumo di potenza del dispositivo mentre cripta o decifra differenti D blocchi di dati, dove D è il numero di tracce acquisite. Per ognuna di queste tracce acquisite l'attaccante deve registrare il valore d che viene coinvolto nel calcolo dei punti intermedi scelti al passo 1. Scriviamo

quindi questi valori in un vettore $\mathbf{d} = (d_1, \dots, d_D)'$, dove d_i denota il testo cifrato o in chiaro all' i -esimo ciclo di codifica o decodifica.

Durante ognuno di questi cicli l'attaccante registra una power trace. Ogni traccia corrisponde al proprio testo e al proprio interno contiene T punti intermedi. La traccia sarà messa all'interno del vettore $\mathbf{t}_i = (d_{i,1}, \dots, d_{i,T})'$. Le tracce possono essere scritte in una matrice \mathbf{T} di dimensioni $D \times T$ assieme ai relativi d_i . Affinchè l'attacco abbia successo vi è la necessità di allineare correttamente le tracce. L'allineamento è particolarmente importante in quanto c'è bisogno che i punti intermedi siano correttamente collocati nella matrice dei valori. Per fare questo, è necessario che ci sia un segnale di trigger che permetta di registrare sempre la stessa porzione di traccia durante un ciclo di codifica o decodifica. Se non è possibile un allineamento con un trigger ben definito, bisogna allineare le tracce tramite punti fissi all'interno delle stesse. Ad esempio, se il ciclo viene preceduto o succeduto da sequenze invarianti e ben distinguibili di operazioni, che generano un ben preciso consumo di potenza, si utilizzerà questa parte di traccia per allineare, in una post elaborazione, i punti intermedi di ogni acquisizione.

4.1.3 Passo 3: Calcolo dei valori intermedi ipotetici

Questo passo consiste nel calcolare gli ipotetici valori intermedi per ogni possibile scelta di k . Queste le scriviamo nel vettore $\mathbf{k} = (k_1, \dots, k_K)$ dove K è il possibile numero di scelte della sottochiave k . In questo contesto, gli elementi di \mathbf{k} li chiameremo chiavi ipotizzate. Dato il vettore \mathbf{d} e il vettore \mathbf{k} , un attaccante può facilmente calcolare i valori intermedi $f(d, k)$ per tutti i D cicli di codifica e per tutte le K chiavi ipotizzate. Questo calcolo porta a creare una matrice \mathbf{V} di dimensioni $D \times K$

$$v_{i,j} = f(d_i, k_j).$$

Le colonne j di \mathbf{V} contengono i valori intermedi che sono calcolati in base alla chiave ipotizzata k_j . Una di queste chiavi ipotizzate è quella utilizzata dal dispositivo e quindi quella corretta. Lo scopo dell'attacco sarà quello di

identificare quale di queste colonne è stata processata nel ciclo di codifica o decodifica del dispositivo sotto attacco. L'indice che utilizzeremo per indicare la chiave corretta sarà k_{ck} .

4.1.4 Passo 4: Mappatura dei valori intermedi sui valori di consumo di potenza

In questo passaggio, l'attaccante mappa i valori ipotetici dei punti intermedi sui valori di potenza misurati. Per fare questo è necessario simulare il consumo di potenza mediante appositi software [8, Section 3.3] che elaborano i valori intermedi calcolati. In questo modo si ottiene una traccia simulata $h_{i,j}$ che verrà inserita nella matrice \mathbf{H} . La qualità della simulazione dipende fortemente dalla conoscenza che l'attaccante ha del dispositivo analizzato. Più la simulazione è fedele alla realtà, più il DPA sarà efficiente.

4.1.5 Passo 5: Confronto tra i valori ipotetici di consumo con le tracce di potenza

Dopo aver mappato \mathbf{H} in \mathbf{V} si può procedere con l'ultimo passo del DPA. Qui, ogni colonna h_i della matrice \mathbf{H} è confrontata con ogni colonna di t_j della matrice \mathbf{T} . Questo significa che chi attacca mette a confronto i valori del consumo simulato di potenza, relativo ad ogni chiave ipotizzata, con le tracce acquisite. Il risultato della comparazione produce la matrice \mathbf{R} di dimensioni $K \times T$ dove ogni elemento $r_{i,j}$ contiene la comparazione tra le colonne h_i e t_j . Gli algoritmi di confronto possono essere molteplici, noi utilizzeremo quello basato sulla correlazione. Vi è comunque una proprietà comune tra tutti gli algoritmi utilizzati: più alto è il valore $r_{i,j}$, più le colonne h_i e t_j sono simili. Da questa considerazione si può risalire alla chiave corretta.

Le differenti tracce acquisite corrispondono al consumo di potenza del dispositivo quando questo esegue un algoritmo crittografico, partendo da diversi dati in ingresso. I risultati intermedi scelti al punto 1 sono calcolati durante l'esecuzione dell'algoritmo, di conseguenza anche le tracce dipendono in alcuni punti da questi valori. Con t_{ct} ci riferiamo alla colonna della matrice \mathbf{T} che contie-

ne i valori di consumo di potenza che dipendono dai valori intermedi calcolati con la chiave corretta (v_{ck}). Dalla traccia simulata h_{ck} , calcolata con la chiave ipotetica corretta k_{ck} , estraiamo i valori intermedi v_{ck} . I valori contenuti in h_{ck} e t_{ct} sono fortemente correlati poichè sono valori, da una parte simulati e dall'altra acquisiti, che dipendono dalla stessa chiave. Dal confronto di queste colonne si ottiene il valore massimo di \mathbf{R} . Gli altri valori della matrice sono più bassi poichè confrontano colonne che risultano meno correlate. Nel caso in cui nessun valore si distingua tra tutti, può essere che l'attaccante non abbia raccolto sufficienti tracce per riuscire a stimare correttamente la relazione tra le matrici \mathbf{H} e \mathbf{T} . L'acquisizione di un maggior numero di tracce consente all'attaccante di poter misurare con più precisione la relazione tra le simulazioni e le tracce raccolte, determinando con evidenza la chiave corretta.

4.2 Modello della distanza di Hamming

Durante il calcolo dei valori intermedi è importante individuare il modello che più si avvicina al consumo di potenza che andremo successivamente a rilevare. Per questo motivo dobbiamo avere modelli che descrivono come il cambiamento dell'output all'interno dell'hardware è relazionata al consumo di potenza. Un modello generico che ben si adatta ai nostri scopi è il cosiddetto modello della distanza di Hamming. Questo modello è meno accurato di altri, ma si adatta meglio a molti dispositivi.

L'idea di base del modello di Hamming consiste nella conta delle transizioni $0 \rightarrow 1$ e $1 \rightarrow 0$ che avvengono in un circuito digitale durante un certo intervallo di tempo. Questo numero di transizioni è poi utilizzato per descrivere il consumo di potenza del circuito in questo intervallo di tempo. Dividendo l'intera simulazione in piccoli intervalli, possiamo rappresentare un'intera traccia di potenza con il numero di transizioni che si verificano in ogni intervallo di tempo. Quando si utilizza il modello di distanza di Hamming per simulare il consumo di potenza, vengono tenute in considerazione le seguenti ipotesi: la prima è che le transizioni $0 \rightarrow 1$ e $1 \rightarrow 0$ hanno lo stesso consumo di potenza. La seconda ipotesi è che le transizioni $1 \rightarrow 1$ e $0 \rightarrow 0$ contribuiscono equamente allo stesso

modo al consumo di potenza. Nel modello di Hamming, queste ultime transizioni valgono 0 poichè non cambiano il valore dei bit. Allo stesso modo, nel modello non viene considerato il consumo statico di potenza delle celle. Inoltre ogni cella contribuisce equamente al consumo di potenza, senza fare distinzioni tra le capacità parassite dei bus e quelle interne alla cella.

Per la sua semplicità, il modello della distanza di Hamming viene spesso utilizzato per le simulazioni di potenza. Queste simulazioni possono essere calcolate in maniera relativamente veloce. La distanza di Hamming di due valori v_0 e v_1 è il peso di Hamming (HW) di $v_0 \oplus v_1$. Tale peso consiste nel numero di bit che valgono 1 e quindi $HW = (v_0 \oplus v_1)$ corrisponde al numero di bit che differiscono tra v_0 e v_1 .

4.3 Valutazione basata sulla correlazione

Quando si va a valutare il rapporto che intercorre tra le tracce simulate di potenza e quelle acquisite, bisogna tener conto del sistema di confronto che si va ad utilizzare. La correlazione risulta un buon modo per valutare la dipendenza tra le due campionature. Presi i vettori h_i dei consumi ipotizzati e t_i dei valori misurati, relativi allo stesso punto intermedio, abbiamo bisogno di valutare quanto le ipotesi di consumo siano congrue al consumo di potenza reale. In questo modo saremo in grado di riconoscere la correttezza della chiave. Per valutare questo legame ricorriamo alla correlazione che indica quanto due variabili cambiano allo stesso modo. Per definire la correlazione prendiamo due variabili aleatorie X e Y , i relativi valori attesi μ_X μ_Y e deviazioni standard σ_X σ_Y . La correlazione $\rho_{X,Y}$ viene definita come:

$$\rho_{X,Y} = \frac{E[(X - \mu_X)(Y - \mu_Y)]}{\sigma_X \sigma_Y}.$$

La correlazione risulta sempre essere compresa tra -1 e 1 ed indica: massima correlazione positiva quando è 1, massima correlazione negativa quando è -1 e incorrelazione quando è 0. Per questo bisogna valutare correttamente la correlazione con stesso modulo ma segno diverso. Infatti, nel nostro caso, la correlazione negativa portava a risultati non corretti per la valutazione della

chiave candidata. Volendo valutare soltanto i dati positivamente correlati, verranno tenuti in considerazione soltanto i risultati positivi compresi tra 0 e +1. I valori di correlazione negativa vengono ritenuti dei falsi positivi ovvero serie di dati che presentano un legame tra loro, ma che al fine pratico non sono rilevanti.

Quando non partiamo da una variabile aleatoria definita, ma da una data serie di misure come nel nostro caso, non possiamo conoscere il valore della correlazione a priori e così si utilizza uno stimatore per trovare la correlazione. Considerando X e Y una serie di n misure dove x_i e y_i sono gli elementi della serie con $i = 1, 2, 3, \dots, n$, la stima di $\rho_{X,Y}$ sarà:

$$r_{x,y} = \frac{\sum_{i=1}^N (x_i - \bar{x})(y_i - \bar{y})}{\sqrt{\sum_{i=1}^N (x_i - \bar{x})^2 \sum_{i=1}^N (y_i - \bar{y})^2}}$$

dove \bar{x} e \bar{y} sono la media semplice delle due serie di misure.

4.4 La traccia di potenza

Un circuito digitale consuma potenza ogni qualvolta esegue un'operazione. Perciò il consumo di potenza di un dispositivo elettronico riveste un ruolo importante durante la progettazione dei circuiti stessi. Infatti, tale consumo determina la dissipazione di calore e il suo impiego in contesti dove la disponibilità di energia è limitata, come nei dispositivi a batteria. A maggior ragione nel nostro caso è fondamentale poichè su di esso basiamo il nostro attacco. La stretta relazione tra la struttura del dispositivo e il suo consumo porta ad un'analisi che rivela informazioni importanti e cruciali per la sicurezza stessa del device. I circuiti costruiti in tecnologia CMOS hanno un consumo di potenza pari alla somma dei consumi delle singole celle di cui sono composti. Quindi, il consumo totale dipende essenzialmente dal numero di celle logiche e dalle loro interconnessioni. Questo è il risultato di decisioni di design prese a livello di sistema (architettura di sistema complessiva e algoritmi utilizzati), a livello di cella e a livello di transistor.

Quando un circuito CMOS è attivo, esso viene alimentato da una tensione

V_{DD} e le celle logiche presenti, quando elaborano i dati in ingresso, prelevano una corrente i_{DD} . Quindi avremo che il consumo di potenza istantaneo sarà $P = V_{DD} \cdot i_{DD}$ e sarà la somma di due contributi, il consumo di potenza statico P_{stat} e il consumo di potenza dinamico P_{dyn} . Il consumo di potenza statico è la parte di energia che la cella consuma quando non sono presenti commutazioni, ovvero quando la cella è alimentata, ma non sta facendo nulla. Il consumo di potenza dinamico invece è l'energia consumata dalla cella mentre svolge le operazioni. La parte statica del consumo di potenza è piuttosto piccola ed è la parte di corrente di perdita chiamata I_{leak} che fluisce da V_{DD} a massa pur avendo il transistor spento. La corrente di perdita è solitamente dell'ordine del pA, ma cresce e può diventare più rilevante con il diminuire delle lunghezze di gate dei transistor, sotto i 100 nm.

Il consumo di potenza dinamico è il fattore dominante nel consumo totale di potenza. Esso dipende dai dati che vengono processati nei circuiti CMOS ed è causato dalla variazione di stato della cella che avviene in una transazione $0 \rightarrow 1$ oppure $1 \rightarrow 0$. P_{dyn} è formata essenzialmente da due parti: la prima è l'energia necessaria a caricare le capacità di carico delle celle CMOS e la seconda l'energia di cortocircuito che fluisce, per un breve periodo di tempo, durante la commutazione della cella. Un altro contributo presente nel consumo di potenza dinamico è dato dai glitch. In una serie di stadi di celle collegate, la trasmissione del segnale di controllo da uno stadio all'altro può variare in base alle interconnessioni tra i vari stadi e le varie parti del circuito. Per questo, i segnali di controllo arrivano in tempi diversi all'ingresso della cella successiva. Questo comporta una parziale commutazione dell'uscita dello stadio finale dato da un disallineamento degli ingressi. Come si può vedere dalla Fig. 4.1 i glitches possono portare ad una temporanea ed errata variazione dello stato logico della cella ed una conseguente alterazione del consumo di potenza.

Durante l'esecuzione di un algoritmo crittografico, la commutazione delle celle logiche di un dispositivo avviene molto di frequente. Questa attività porta ad un notevole consumo che spesso non contiene tutte informazioni utili per l'attacco di potenza. Solitamente è il consumo di una piccola parte del dispositivo che

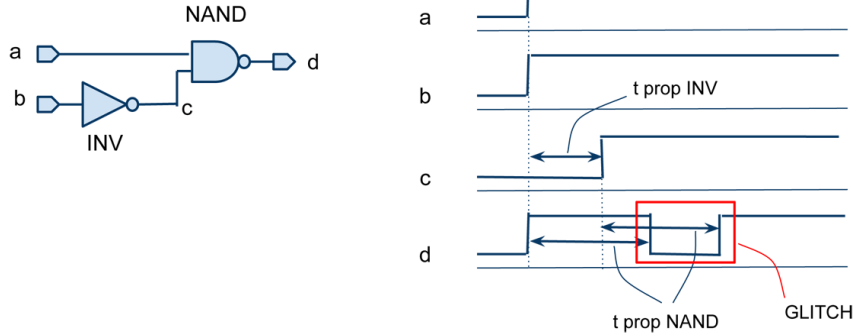


Figura 4.1: Glitch in una porta AND

permette all'attaccante di rivelare la chiave segreta. Il consumo di potenza di tutte le altre parti può costituire rumore dal punto di vista dell'attaccante. Un setup ideale per un attacco di potenza andrebbe a misurare soltanto la potenza di quella parte del dispositivo rilevante ai fini dell'attacco. In pratica questo risulta essere piuttosto difficile, ma si potrebbe portare a termine posizionando precisamente delle piccole sonde EM sulle parti rilevanti del dispositivo. Tuttavia, anche praticando questo tipo di tecnica, la traccia di potenza potrebbe contenere il contributo di celle non rilevanti ai fini dell'attacco, che si vanno a sovrapporre alla parte utile.

Quando viene raccolta una traccia di potenza, essa non è solamente formata dai contributi di potenza che abbiamo descritto, bensì vediamo come siano presenti delle fluttuazioni che possono arrivare a sovrastare il segnale utile che stiamo misurando. Analizzando diverse volte il consumo di potenza di una cella e mantenendo invariati gli ingressi, si possono notare delle variazioni nelle diverse tracce. Queste fluttuazioni sono causate dal rumore elettronico che può essere ridotto coi dovuti accorgimenti, ma non può essere rimosso completamente. Le sorgenti del rumore elettronico possono essere molteplici, alcune di queste possono essere controllate facilmente, mentre altre sono più difficili da gestire.

Di seguito viene presentato un elenco delle possibili sorgenti di rumore. Rumore

delle sorgenti di alimentazione: tutto il rumore prodotto dall'alimentazione del circuito va direttamente a deteriorare la traccia di potenza. Per questo motivo, è molto consigliato utilizzare una sorgente molto stabile per il dispositivo che si vuole studiare, evitando di alimentare direttamente dal PC o da RS232 e utilizzando alimentatori da banco o batterie. Più stabile è la sorgente di alimentazione migliore è il setup dell'esperimento.

Rumore del generatore di clock: il generatore di clock collegato al dispositivo testato deve essere stabile principalmente per due ragioni. Prima di tutto risulta essere importante per comparare le varie parti della tracce. Un disallineamento di queste può deteriorare in maniera significativa le prestazioni dell'attacco. Il secondo aspetto riguarda la stabilità dell'ampiezza del segnale di clock, poiché una fluttuazione troppo elevata si ripercuoterebbe sulla traccia di potenza.

Emissione condotta: l'emissione condotta dei componenti connessi direttamente al dispositivo sotto attacco porta del rumore sulla traccia di potenza, in modo particolare se i componenti sono montati sulla stessa Printed Circuit Board (PCB). Per questo motivo è consigliabile installare sulla stessa PCB il minor numero di componenti, possibilmente separando il dispositivo sotto test dal resto del circuito collegato al computer. E' buona norma utilizzare optoisolatori o isolatori magnetici per connettere le due parti della scheda, minimizzando così l'emissione condotta.

Emissioni irradiate: oltre alle emissioni condotte, altri contributi di rumore potrebbero arrivare dalle emissioni irradiate che possono essere ridotte con apposite schermature al setup di misura.

Rumore di quantizzazione: il rumore di quantizzazione è una conseguenza della conversione analogico-digitale effettuata dall'oscilloscopio. Più alta è la risoluzione dell'oscilloscopio, minore è il contributo del rumore di quantizzazione. Per gli attacchi di tipo power analysis sono sufficienti 8 bit di quantizzazione. Nel nostro caso, l'effetto della quantizzazione è molto inferiore a quello degli altri contributi di rumore.

4.5 Contromisure per gli attacchi DPA

Gli attacchi DPA si basano sul fatto che il consumo di potenza dei dispositivi crittografici dipende dai valori intermedi elaborati dall'algoritmo di crittografia. Appare chiaro dove bisogna porre l'attenzione per prevenire questo genere di attacchi: l'obiettivo delle contromisure sarà quello di rimuovere questa dipendenza e rendere così le tracce di potenza indipendenti da questi valori intermedi. Le contromisure che sono state pubblicate fino ad oggi possono essere divise in due grandi gruppi: contromisure di hiding e di masking. L'idea di base dell'hiding è quella di rimuovere la dipendenza dalle tracce relative all'algoritmo. Questo richiede che l'esecuzione dell'algoritmo sia casuale oppure che venga cambiata in modo tale che chi attacca non riesca a risalire facilmente alla dipendenza dai dati processati. Per ottenere questo risultato, si può procedere in due modi diversi: progettare il device affinché richieda approssimativamente sempre la stessa quantità di energia, oppure costruire il dispositivo in modo che il consumo sia pressoché casuale. In entrambi i casi si ottiene che la dipendenza del consumo di potenza dai dati elaborati risulta ridotta anche se non completamente. Inoltre bisogna tener conto che, nonostante l'hiding, i risultati intermedi elaborati sono gli stessi di un dispositivo non protetto, ma questa tecnica va soltanto ad alterare il consumo di potenza.

Nel caso del masking è diverso. L'idea base del masking è rendere casuali i valori intermedi elaborati dal dispositivo. In questo modo, i valori intermedi che vengono elaborati sono indipendenti dai reali valori intermedi che dovrebbero essere elaborati nello stesso istante. Il grande vantaggio del masking è che non modifica il consumo di potenza del dispositivo, che comunque può rimanere dipendente dai dati. Questa modifica viene fatta soltanto sul processo di crittografia (a livello hardware o software) e consiste nel calcolare in maniera casuale e non sequenziale i valori intermedi necessari.

A parte queste due contromisure c'è un principio generale che aiuta a prevenire gli attacchi basati sulla Power Analysis: la chiave usata nell'algoritmo crittografico deve essere cambiata più frequentemente possibile. Infatti cambiando più volte la chiave, risulta più difficile analizzare le tracce raccolte dipendenti

dalla stessa. Infatti, praticare un attacco DPA è più impegnativo se il numero di tracce acquisite è minore.

Capitolo 5

Applicazione attacco DPA

5.1 Modello per l'attacco DPA

La necessità di calcolare i valori intermedi, su cui confrontare il consumo di potenza, porta a cercare un modello adeguato per calcolarli. Consideriamo ora i vari contributi che le differenti parti dell'algoritmo portano nel consumo di potenza: la parte combinatoria, formata da XOR e dalla funzione non lineare, dà un contributo inferiore rispetto agli shift registers e per questo possiamo considerarla trascurabile nel calcolo della distanza di Hamming. Lo shift register della chiave dà anch'esso contributo nullo, poichè la sua distanza di Hamming non cambia in quanto la chiave è la stessa ma solo ruotata. In questo modo il registro della chiave porta approssimativamente ad una variazione nulla del consumo di potenza ad ogni ciclo di Keeloq. Per questo motivo ci concentreremo sullo shift register y dove è contenuta la trama. Il modello che utilizzeremo per questo attacco è:

$$P_{Hyp}^{(i)} = HD(y^i, y_{(i-1)}) = HW(y^{(i)} \oplus y^{(i-1)})$$

dove $P_{Hyp}^{(i)}$ è il consumo ipotetico di potenza al ciclo i -esimo di codifica (o decodifica), HD è la distanza di Hamming e HW è il peso di Hamming. $y^{(i)}$ indica il contenuto del registro al ciclo i -esimo di Keeloq e \oplus indica la funzione XOR a 32 bit che andrà ad estrarre la differenza di bit tra il registro y allo stato

i -esimo e y al ciclo $i - 1$. Il modello ovviamente funziona sia per la codifica che per la decodifica. In caso di codifica si partirà dal testo in chiaro e si valuterà il registro della trama nei cicli 1,2,3 . . . mentre nella decodifica dal testo cifrato e si andranno a valutare i registri al ciclo 528-1, 528-2, Il modello basato sulla distanza di Hamming rappresenta molto bene il cambiamento di stato del nostro registro y . Infatti la distanza di Hamming del registro modella bene il consumo di potenza che si ha nel cambio di stato ad ogni ciclo di Keeloq. Infatti l'operazione di XOR che viene effettuata tra i due stati rivela soltanto le celle che vanno a cambiare il loro contenuto passando da $0 \rightarrow 1$ o $1 \rightarrow 0$. Le celle che non cambiano stato non consumano potenza e non vengono considerate.

5.2 Setup di misurazione

Per le nostre prove di attacco al ricevitore abbiamo utilizzato un Microchip HCS301 come target. Nella maggior parte delle applicazioni l'HCS301 si trova in package 8-pin SOIC, la cui configurazione standard si può vedere in Fig. 5.2.

Possiamo notare come l'integrato gestisca completamente tutte le funzionalità di un trasmettitore. Esso infatti gestisce il led di servizio, e alcuni pulsanti in ingresso e trasmette in uscita direttamente il segnale modulato per la parte radio. Ciò comporta che l'utilizzo dell'HCS301 non necessiti di altri integrati, ad esclusione della parte radio, per avere piene funzionalità in un sistema di trasmissione.

Per poter acquisire le tracce di potenza è necessario inserire una resistenza di shunt che procuri una caduta di tensione direttamente proporzionale al consumo di potenza dell'integrato. La resistenza deve avere un valore non troppo basso perchè la caduta non sia troppo piccola e quindi difficilmente rilevabile e misurabile, e non troppo grande per non alterare troppo il livello di ground a cui è connesso. Per questo il valore si aggira attorno ai 100 Ohm. Utilizzando uno shunt tutta la corrente che fluisce verso massa passa attraverso la resistenza. Ai capi di questa viene collegata la sonda dell'oscilloscopio che misurerà la traccia di potenza.

Oltre alla traccia di potenza è necessario registrare la parte cifrata in uscita

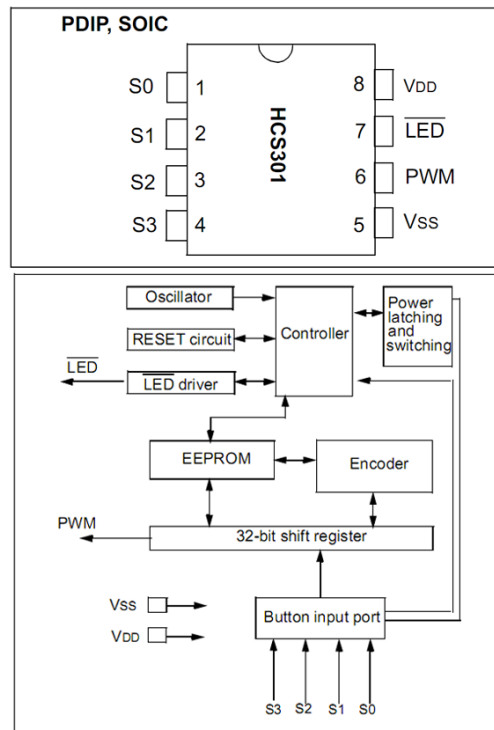


Figura 5.1: HCS301: Pinout e schema a blocchi del dispositivo

dalla codifica. Per fare ciò l'uscita PWM dell'HCS viene collegata ad un optoaccoppiatore che permette di trasmettere il segnale criptato come se venisse inviato alla parte radio, ma senza che una connessione non isolata possa deteriorare la traccia di potenza nella fase di elaborazione del Keeloq. Nel nostro setup la PCB contenente l'HCS era priva di ogni altro parte, di modo che, l'alimentazione non fosse degradata da fenomeni di emissione condotta o disturbi di altra natura. Come discusso in precedenza, l'alimentazione del circuito è di fondamentale importanza. Infatti, sia il rumore introdotto dall'alimentazione, sia le sue fluttuazioni si riflettono nella traccia di potenza e per questo abbiamo inizialmente alimentato il circuito con una batteria. Tuttavia la tensione non regolare ai capi della batteria, che dopo numerose prove non era più la stessa, ha portato ad una discrepanza nei valori misurati nelle power traces. Si è

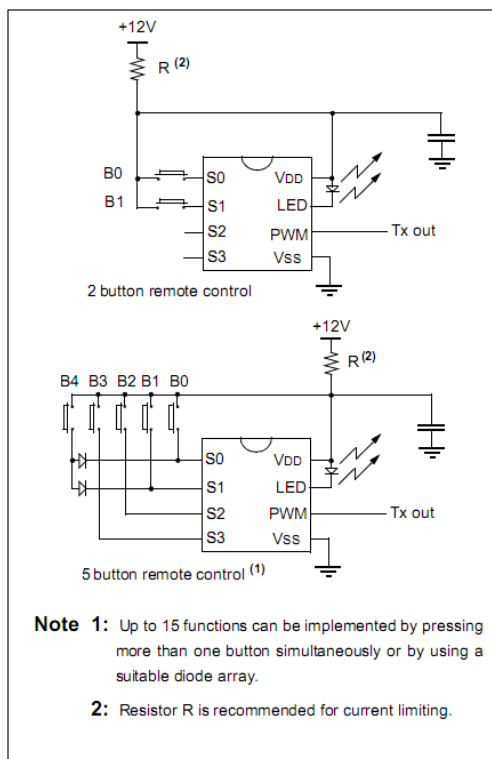


Figura 5.2: Configurazione standard HCS301

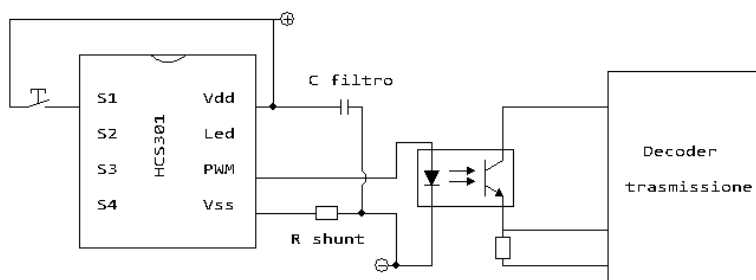


Figura 5.3: Setup di misurazione

visto come il progressivo calare della tensione di alimentazione della batteria portava ad una costante diminuzione del valore medio delle tracce. Questo pro-

duceva valori relativamente corretti all'interno della stessa traccia, ma sbagliati se confrontati tra diverse tracce. Per capire questo fenomeno abbiamo preso due tracce, ad esempio la prima e l'ultima di una serie di 30 misurazioni, e misurato i valori delle rispettive tracce in un dato istante. In entrambe le tracce abbiamo preso il valore medio e, relativamente a questo, abbiamo valutato se la misurazione risultava essere sopra o sotto la media. Dal confronto sono emersi gli errori introdotti dalla batteria. Nella prima traccia il valore misurato era inferiore alla media mentre nell'ultima traccia il valore era superiore alla media. Confrontando i valori tra loro, ovvero non rispetto al valore medio della traccia ma in valore assoluto, accadeva che il valore dell'ultima traccia era minore di quello della prima. In questo modo i valori presi allo stesso istante nelle varie misurazioni possono essere interpretati male e ottenere risultati scorretti. Questo è causato da un'offset dell'alimentazione che porta a variare la media dei valori e quindi a sbagliare la lettura dei valori assoluti. Per questo è importante avere un livello di alimentazione stabile, per non peggiorare la qualità delle prove. Un'altra soluzione consisterebbe nel valutare i valori dei punti intermedi e normalizzarli secondo la media, prima di confrontarli. In questo modo l'eventuale offset dell'alimentazione non influenzerebbe le misurazioni.

5.3 Acquisizione delle misurazioni

L'acquisizione delle tracce tramite l'oscilloscopio è un punto rilevante dell'attacco DPA. In questa fase bisogna registrare la caduta di tensione che si ha sullo shunt inserito sulla massa del dispositivo, mentre il dispositivo processa le informazioni. In questo caso siamo interessati a registrare la caduta di tensione quando il Keeloq elabora la trama e la codifica prima di trasmetterla. Una fase importante è trovare il trigger con cui avviare l'acquisizione dell'oscilloscopio. Per l'acquisizione delle tracce di potenza del trasmettitore è possibile fissare il trigger in molti punti. In prima analisi, il segnale del pulsante che avvia il processo di trasmissione è il miglior segnale di trigger utilizzabile. Tuttavia, da un'analisi più approfondita emerge che il pulsante non ha un circuito di de-

bounce hardware A causa di questo vengono introdotti molti fronti di trigger che possono cambiare l'allineamento delle tracce. Per questo si è scelto un tipo di trigger che rilevi un intervallo di tempo in cui il segnale resta sotto una certa soglia, come si vede in Fig. 5.4. In questo modo, tenendo conto che le parti macroscopiche della traccia di potenza sono uguali in tutte le misurazioni, è possibile avere un trigger stabile e un allineamento corretto su tutte le tracce.

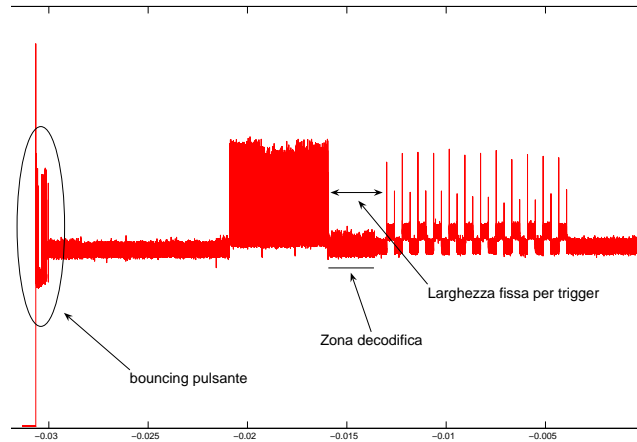


Figura 5.4: Posizionamento del trigger rispetto alla zona di decodifica. Il bouncing del pulsante non permette di avere un trigger stabile sul quel fronte di salita

Un altro parametro fondamentale è il sample rate che è condizionato da due fattori: il più importante è la dimensione di memoria dell'oscilloscopio e il secondo è il rapporto tra sample rate e numero di tracce necessarie per avere un attacco di successo. La dimensione di memoria impone un limite sul numero di campioni acquisibili dall'oscilloscopio. Questo limita la lunghezza temporale della traccia che può essere acquisita. Se il trigger è troppo lontano dal punto che dobbiamo visualizzare e abbiamo un alto sample rate, può accadere che l'oscilloscopio non visualizzi la porzione di traccia di nostro interesse poichè ha

già riempito la memoria con i punti precedenti. Per questo bisogna trovare un compromesso tra la memoria e il sample rate. Infatti, diminuendo i punti per secondo acquisiti, si può avere un intervallo più ampio e quindi visualizzare una parte più estesa della traccia di potenza. Tuttavia è importante notare che più il sample rate diminuisce, meno definita è la traccia di potenza e di conseguenza sono necessarie molte più tracce per poter avere un attacco di successo. Come si può vedere in Fig. 5.5

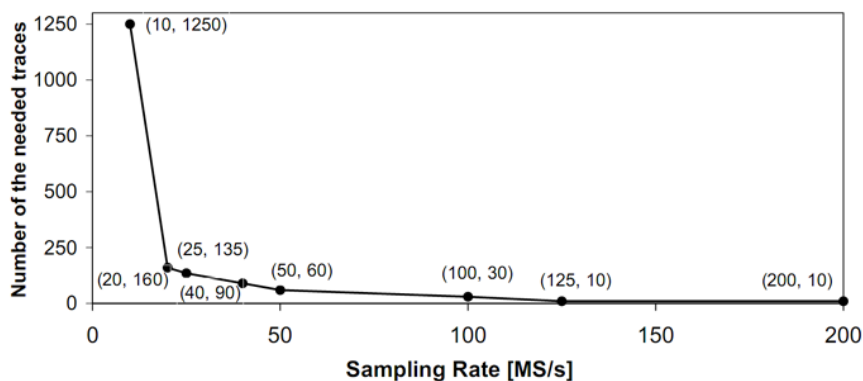


Figura 5.5: Relazione tra sample rate e tracce necessarie prima di avere successo nell'attacco [9]

le prestazioni dell'attacco calano drasticamente quando il sample rate scende sotto una certa soglia. Quindi è importante utilizzare un sample rate che permetta di acquisire un numero non troppo basso di tracce, ma allo stesso tempo non troppo alto per non incorrere nel problema di mancanza di memoria. Supponendo di avere una quantità di memoria illimitata e un oscilloscopio ideale potremmo aumentare a dismisura il sample rate. Tuttavia, le performance dell'attacco andrebbero a stabilizzarsi su un certo numero di tracce minime necessarie per portare a termine un buon attacco. Questo è dovuto al fatto che altri fattori di deterioramento del segnale, come il rumore, vanno ad incidere sulle performance più del sample rate. C'è anche da considerare che in molti casi è più conveniente non avere un sample rate troppo alto ed avere qualche

traccia in più, poichè nella post-elaborazione delle tracce avere troppi punti necessita di un'elevata capacità di calcolo e quindi di una minor efficienza.

5.4 Post-elaborazione

Nella fase di post elaborazione abbiamo raccolto un numero di tracce necessario per affrontare l'attacco, quindi ora è necessario processarle per estrarre i valori necessari. L'elaborazione delle tracce e l'estrazione dei valori intermedi necessari è stata fatta con Matlab tramite diversi script. La traccia viene importata in Matlab come una matrice di due colonne in cui una è il tempo e l'altra rappresenta il valore di tensione rilevato dall'oscilloscopio. In questa fase è importante capire come le tracce possano essere allineate ed elaborate in maniera automatica. La struttura delle tracce, come si vede in Fig. 5.6, permette di capire come lo script per l'estrazione dei dati debba agganciarsi

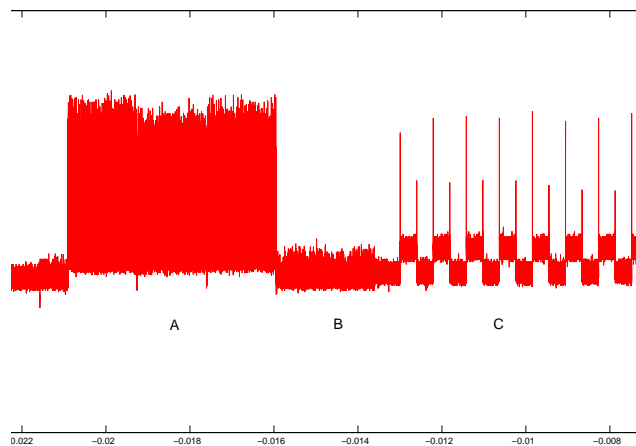


Figura 5.6: Zone della traccia di potenza acquisita. Zona A: lettura della eeprom, zona B: codifica del Keeloq, zona C: inizio preambolo trasmissione

all'inizio della parte centrale, zona B, per poi terminare l'estrazione prima che inizi la zona C.

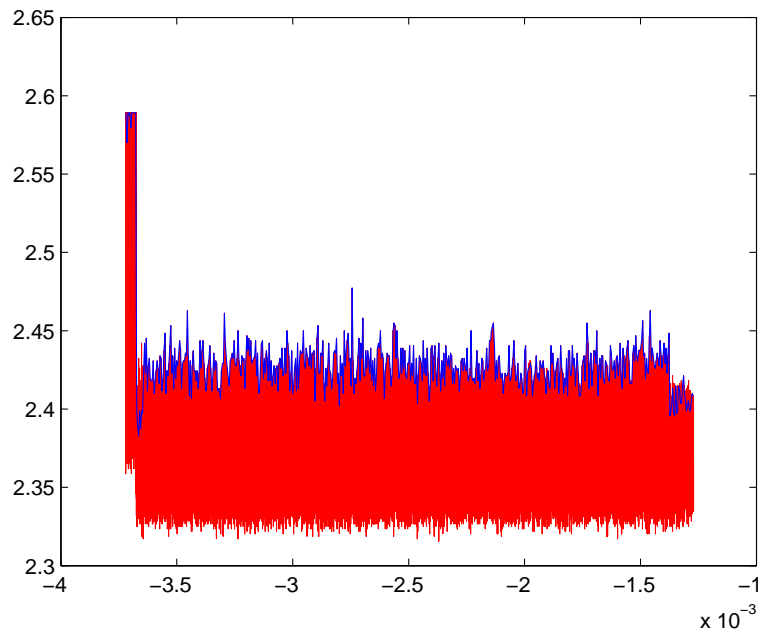


Figura 5.7: Traccia di potenza (colore rosso) e i picchi estratti dagli script automatici(colore blu). Lo script si aggancia correttamente alla traccia

5.5 Analisi tracce

Per poter estrarre le informazioni utili per l'attacco bisogna analizzare le tracce ed estrarre i valori dei punti intermedi. Come abbiamo visto in precedenza, i punti intermedi sono dei valori che dipendono dai dati conosciuti, dalla chiave e dalla trama in chiaro o cifrato. Nella nostra analisi delle tracce vediamo che questi punti possono non essere altro che il valore del registro Y che contiene la trama durante tutta la sua elaborazione. L'aggiornamento di questo registro, che viene effettuato ad ogni ciclo di codifica, quindi 528 volte, risulta perfetto per allocare i nostri punti intermedi poichè, dato il consumo di potenza rilevante, sono facilmente individuabili. Inoltre, essi garantiscono un'immunità alta ai falsi positivi: i valori elaborati in ognuno dei punti intermedi dipende da quelli elaborati ai passi precedenti, per la sequenzialità dell'algoritmo Keeloq.

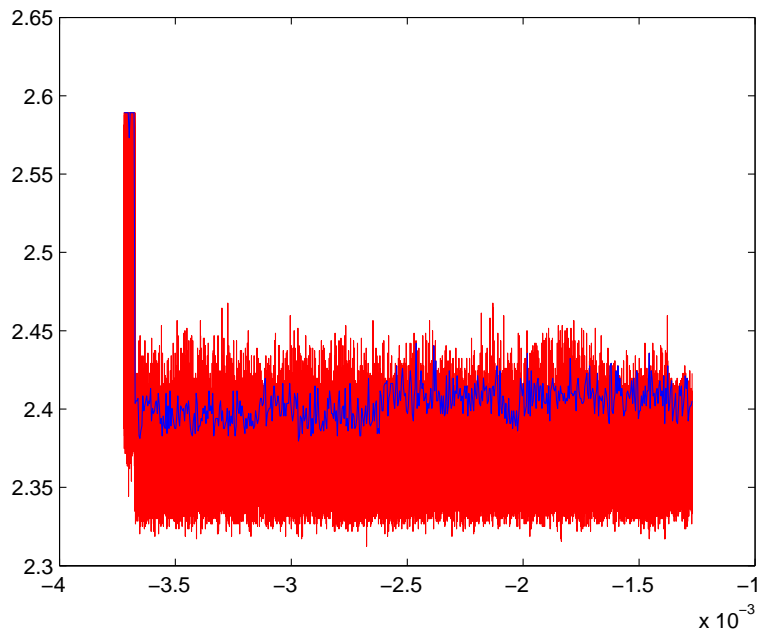


Figura 5.8: Traccia di potenza (colore rosso) e i picchi estratti dagli script automatici (colore blu). Lo script non si aggancia alla traccia e non riesce ad estrarre i picchi

Se ripercorriamo la codifica dall'ultimo ciclo (528) al primo, decodificando la nostra trama cifrata passo dopo passo, vediamo come i valori estratti nei primi cicli influenzano le decodifiche successive. Questo è dovuto al fatto che lo shift fa in modo che il registro della trama introduca nei cicli successivi i bit che ha elaborato in precedenza. Questi influenzeranno l'elaborazione creando così una dipendenza a catena di tutti i bit della trama. Per questo motivo, se durante il recupero dei primi bit della chiave c'è un errore e vengono erroneamente considerati corretti dei falsi positivi, l'errore non resta latente, bensì impedisce il proseguimento dell'attacco, abbattendo la correlazione degli step successivi.

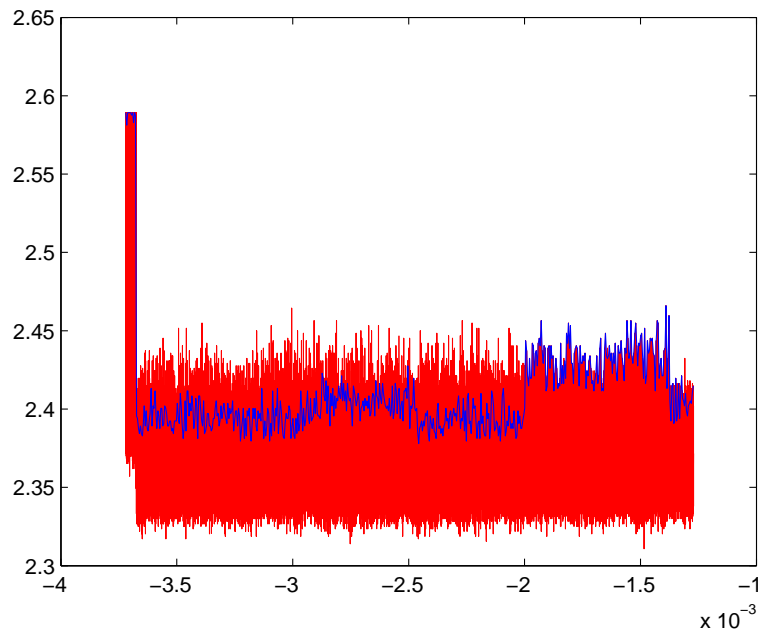


Figura 5.9: Traccia di potenza (colore rosso) e i picchi estratti dagli script automatici (colore blu). Lo script non riesce totalmente ad agganciarsi alla traccia. La causa maggiore di questo fenomeno è la dilatazione del clock che cambia leggermente durante l'elaborazione e rende difficile l'estrazione dei picchi

5.6 Composizione della traccia

La traccia di potenza registrata consente di individuare in essa varie parti distinte tra loro: la lettura della EEPROM, la codifica Keeloq, la preparazione della trasmissione, il preambolo e la trasmissione dei bit. Si può facilmente individuare la presenza della lettura della EEPROM dato il considerevole consumo di potenza che questa fase richiede rispetto al resto della traccia. La lettura della EEPROM è la parte in cui l'HCS accede alla memoria per estrarre il contatore, l'id del telecomando e la chiave con cui deve codificare la trama prima della trasmissione. In questa fase non è possibile estrarre informazioni utili al fine di conoscere la chiave del dispositivo. La fase immediatamente successiva è

la parte di codifica. In questa fase l'HCS elabora i dati estratti dalla memoria e li processa per ottenere la trama cifrata alla fine del ciclo. Questa è la parte di nostro interesse dove andremo ad estrarre i valori. Questa porzione di traccia è caratterizzata da una struttura periodica e distinta dalla parte successiva da una serie di picchi più alti che sono presenti solo in questa fase. L'analisi

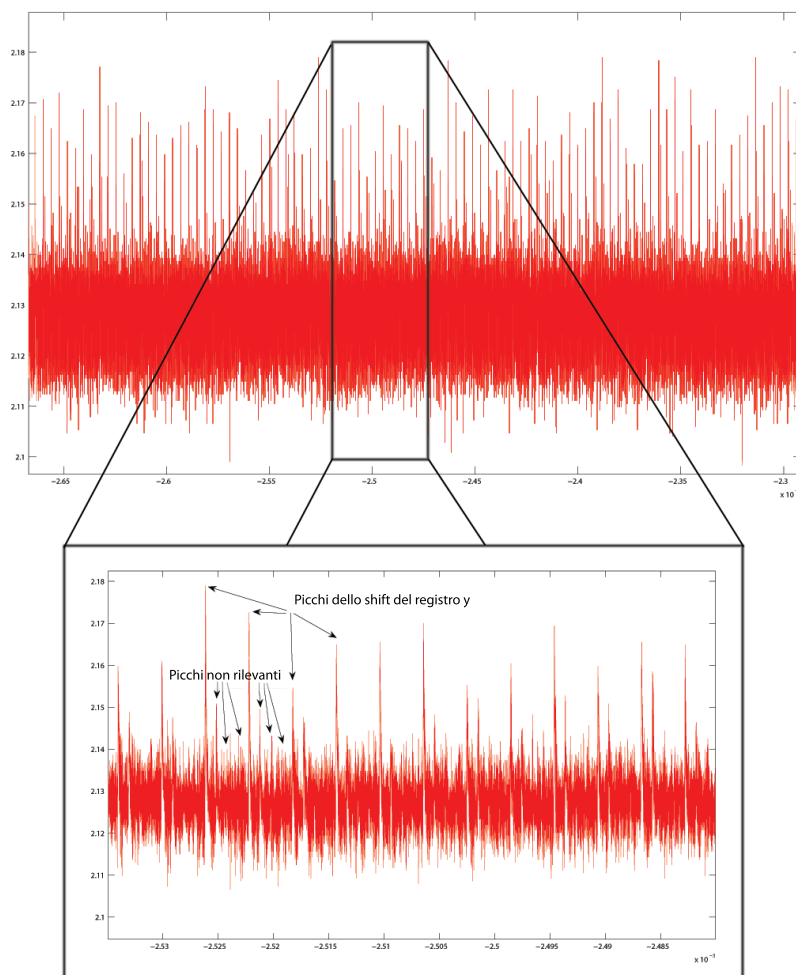


Figura 5.10: Zoom della traccia. I picchi intermedi riguardano le operazioni della codifica Keeloq, i picchi più alti lo shift del registro y che andremo a considerare i nostri valori intermedi

effettuata rileva come ogni 4 cicli di clock è presente un picco più rilevante. Questa periodicità presente in tutta la fase di codifica è stata studiata ed è stato ipotizzato che il picco più alto sia direttamente collegato con il valore del registro della trama Y. Questo perchè, come descritto in precedenza, si ha che lo shift del registro e il conseguente cambio di bit nelle varie celle del registro contribuisce in maniera più rilevante al un consumo di potenza rispetto a tutto il resto delle operazioni del Keeloq. Con questa ipotesi possiamo associare il picco alla distanza di Hamming tra il valore che c'era in precedenza nel registro e quello presente nel ciclo corrente di codifica. In questo modo i punti intermedi interessanti si riducono ai soli picchi più rilevanti che sono presenti nella zona di decodifica. Ai fini dell'attacco non sono utili i valori processati nei restanti cicli di clock poichè sono associati alle operazioni di XOR e di calcolo del risultato della funzione non lineare. Portando avanti questa ipotesi e costruendo l'attacco su questi valori di picco, sono stati ottenuti risultati favorevoli che hanno confermato l'ipotesi fatta.

5.7 Algoritmo di attacco DPA

Dopo aver ottenuto e tabulato i valori intermedi della traccia, possiamo procedere ad eseguire l'attacco DPA seguendo questo schema:

1. Calcolo delle chiavi ipotetiche di m bit
2. Esecuzione un attacco con Correlation Power Analysis (CPA) sul ciclo $(528 - m)$ utilizzando il modello P_{Hyp} e le chiavi k, per ognuna delle chiavi ipotetiche calcolate
3. Estrazione della chiave candidata

Al primo passo andiamo a calcolare le chiavi ipotetiche. Poichè l'attacco viene fatto su gruppi di bit e non su singoli bit, le chiavi ipotetiche saranno tutte le possibili combinazioni di m bit. Nel nostro attacco andiamo a ricercare i bit della chiave 8 alla volta. Quindi al primo passo abbiamo $2^8 = 256$ chiavi ipotetiche.

Quando andiamo a praticare il CPA la prima volta, per trovare i primi 8 bit della chiave, andiamo a lavorare sul ciclo di decodifica $528 - 8 = 520$, quindi prenderemo in considerazione il 520-esimo picco estratto dalla traccia di potenza. Presi i valori corrispondenti al 520-esimo picco delle n tracce di potenza acquisite, andiamo a calcolare quello che è il valore ipotetico al ciclo 520. Per ogni chiave, quindi, calcoleremo la decodifica a partire dal testo cifrato, acquisito durante le misurazioni e come risultato avremo la distanza di Hamming, come dettato dal modello P_{Hyp} utilizzato. Calcolate le n distanze di Hamming per le 2^8 combinazioni di chiavi, andiamo ora a calcolare la correlazione per estrarre la chiave candidata.

La correlazione viene calcolata tra gli n valori estratti dalle tracce di potenza e gli n valori calcolati per ognuna delle chiavi ipotetiche. A questo punto abbiamo come risultato una serie di 2^8 correlazioni, ognuna corrispondente alla relativa chiave ipotetica. L'estrazione della chiave candidata si basa essenzialmente su quale correlazione risulta maggiore. Infatti una maggior correlazione significa

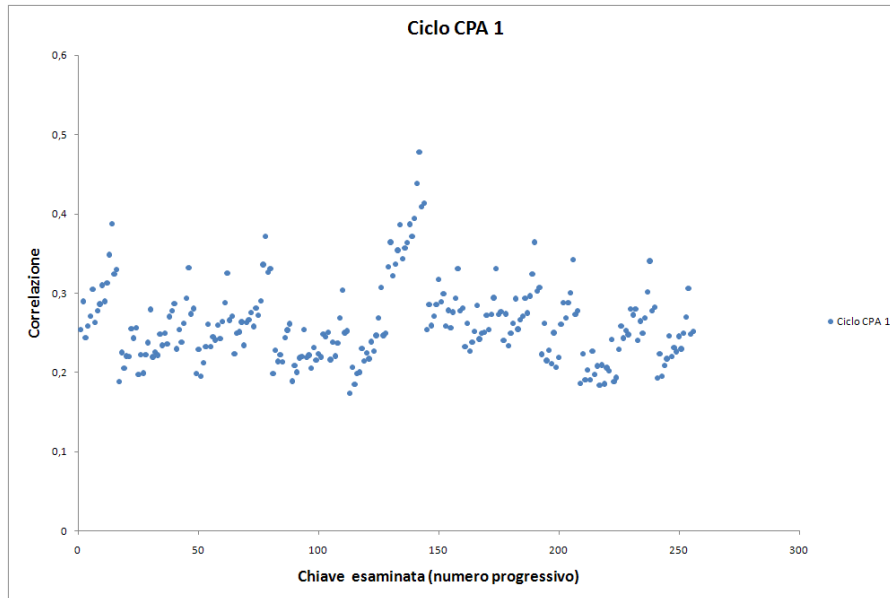


Figura 5.11: Rappresentazione del primo ciclo che recupera i primi 8 bit della chiave

che l'andamento dei dati simulati ben si avvicina all'andamento misurato sul picco corrispondente. Le misurazioni di 30 tracce di potenza hanno portato nella maggior parte dei casi ad un attacco di successo. Vediamo in Fig. 5.11 il grafico che mostra, per ognuna delle 256 chiavi, le rispettive correlazioni. Come possiamo vedere, la chiave candidata corretta ha la correlazione più alta. Anche altre chiavi vicine a quella corretta hanno una correlazione più alta segno che le chiavi simili, hanno un comportamento simulato che si approssima bene, all'avvicinarsi della chiave corretta, a quello delle tracce acquisite e quindi la correlazione tende ad aumentare. Oltre alle chiavi vicine a quella corretta ci sono altre chiavi che sono sopra la media e sono i falsi positivi, ovvero chiavi che hanno una correlazione maggiore della media e che possono rovinare l'attacco se la chiave corretta non ha una correlazione superiore a queste. L'attacco stesso, con l'aumentare del numero di tracce acquisite, aumenta la differenza di correlazione tra i falsi positivi e la chiave corretta.

Trovata la chiave candidata, questa avrà soltanto 8 bit dei 64 bit che andiamo a cercare. Per questo l'attacco viene ripetuto $64/m$ volte. Ad ogni ripetizione il picco su cui estrarre i valori dalle power analysis viene spostato. Se consideriamo f il numero progressivo dell'attacco, $1 < f < 64/m$, allora il picco considerato all'attacco f sarà $528 - fm$.

Ogni attacco risulta dipendente dai suoi precedenti e quindi i bit, estratti prima come corretti, vengono utilizzati al ciclo successivo per poter decodificare la trama. Questo meccanismo pone molta importanza sul fatto che i bit precedenti devono essere corretti, altrimenti i successivi attacchi si basano su ipotesi non valide e trovano falsi positivi. La consequenzialità degli attacchi è necessaria per trovare i bit della chiave. Per questo motivo bisogna seguire l'ordine con cui i bit entrano nel ciclo di decodifica; non è possibile calcolare i bit della chiave applicando l'attacco in ordine diverso da quello che viene seguito nelle operazioni di decodifica. Nel grafico, contenuto in Fig. 5.13, possiamo avere un'idea d'insieme di come la correlazione durante tutto l'attacco DPA si collochi in un intervallo di valori che va da 0.2 a circa 0.6. La correlazione non è mai 0, poichè il modello è preciso, ma non perfetto e non considera al

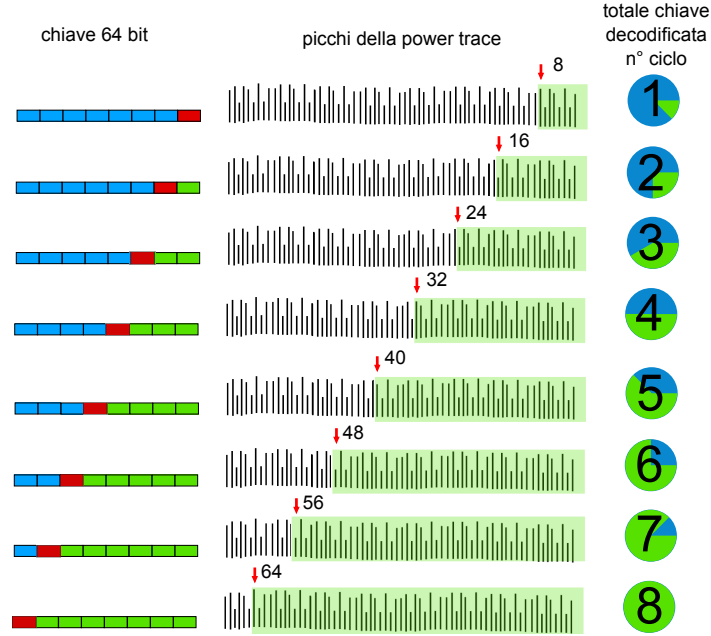


Figura 5.12: Schema degli attacchi DPA: l'attacco viene ripetuto 8 volte in quanto vengono calcolati 8 bit della chiave ad ogni ciclo. I cicli utilizzano i risultati degli attacchi che li precedono.

suo interno molti degli effetti secondari che sono invece presenti nella realtà. Dal confronto, mostrato in Fig. 5.14, possiamo vedere come si manifestano due fenomeni che differenziano il primo dall'ultimo ciclo. Nell'ultimo ciclo infatti, la correlazione è maggiore ed è presente un appiattimento dei valori di correlazione attorno alla media. Questi due fenomeni, meno presenti nel primo ciclo, evidenziano come ci sia un deterioramento delle prestazioni dell'attacco CPA con il susseguirsi dei cicli. Infatti, come si vede dal grafico la chiave candidata corretta è meno evidente e al tempo stesso emergono molti picchi che possono essere falsi positivi. Questo genera la necessità di acquisire più tracce per poter recuperare l'intera chiave. Se in questo attacco avessimo avuto meno tracce di quante ne sono state utilizzate, all'ottavo ciclo la correlazione della candidata corretta avrebbe potuto essere inferiore ad un falso positivo e quindi fallire

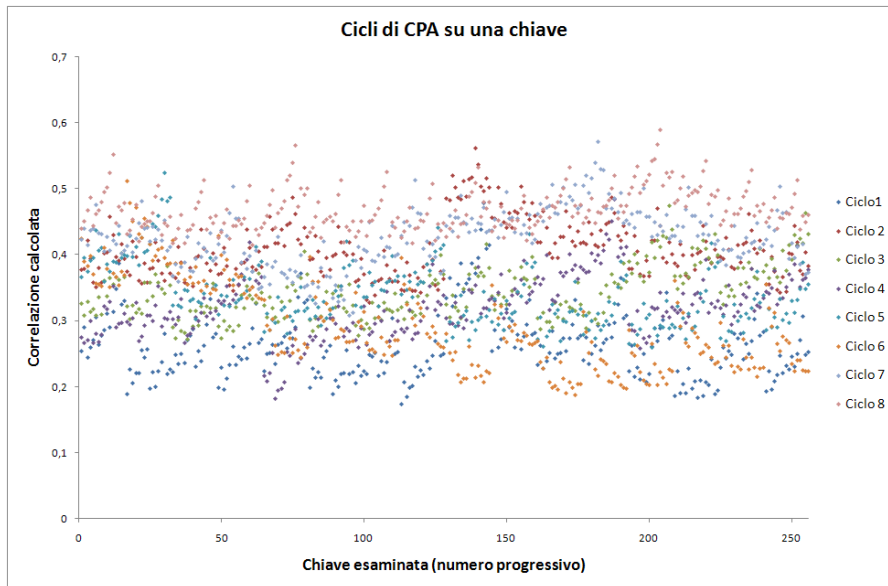


Figura 5.13: Il grafico rappresenta tutti gli 8 cicli CPA da 8 bit che devono essere completati per poter recuperare tutta la chiave da 64 bit

l'attacco.

5.7.1 Centrazione dei valori

L'analisi dei picchi maggiori, che riteniamo direttamente connessi al contenuto del registro Y , porta con sé una problematica: i picchi presenti nella fase di decodifica delle tracce sono superiori al numero di cicli di decodifica Keeloq. Il problema di avere più di 528 picchi, ovvero più del numero di cicli del Keeloq, pone una questione su come togliere i picchi in eccesso per estrarre solo quelli coinvolti nella codifica. I picchi presenti sono circa 25 in più dei cicli della specifica dell'algoritmo. Non abbiamo informazioni in merito alla collocazione della fase di codifica e supponendo che venga fatta in modo sequenziale (ovvero che i picchi eccedenti non si trovino tra i 528 picchi, ma soltanto all'inizio o alla fine) abbiamo 25 possibilità di spostare la codifica collocando i picchi o prima o dopo di essa. Per fare questo è necessario capire come discriminare questi picchi in

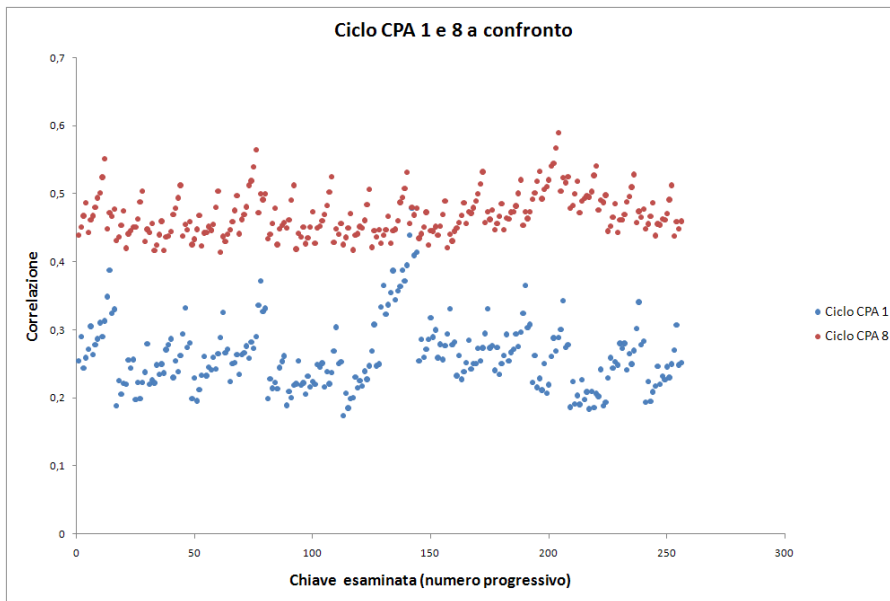


Figura 5.14: Grafico di confronto tra il primo e l’ottavo ciclo CPA che rivelano i primi 8 bit e gli ultimi 8 bit della chiave

quanto non ci sono informazioni utili a riguardo, nè sulla traccia acquisita, nè sulla documentazione riguardante l’algoritmo.

Per discriminare questi picchi abbiamo preparato un ambiente in cui tutto era noto, compresa la chiave che l’attacco DPA deve scoprire. In questo modo, è stato possibile correlare la chiave corretta alla giusta collocazione dei picchi. In questo nuovo setup l’attacco DPA è stato ripetuto 25 volte e ognuna di queste abbiamo shiftato i picchi in eccedenza. In questo modo l’attacco viene simulato coinvolgendo 528 picchi, ogni volta diversi poichè il blocco viene spostato per includere i 25 picchi che eccedono come si può vedere in uno schema esemplificativo in Fig. 5.15.

Fatte queste 25 simulazioni, abbiamo preso la correlazione della chiave corretta presente in tutte le simulazioni. Questa non è stata calcolata solamente sull’ottavo picco per ciclo, ma su tutti gli otto picchi che interessano ogni ot-tetto, ovvero ogni byte della chiave che corrisponde ad un ciclo di DPA. Nel

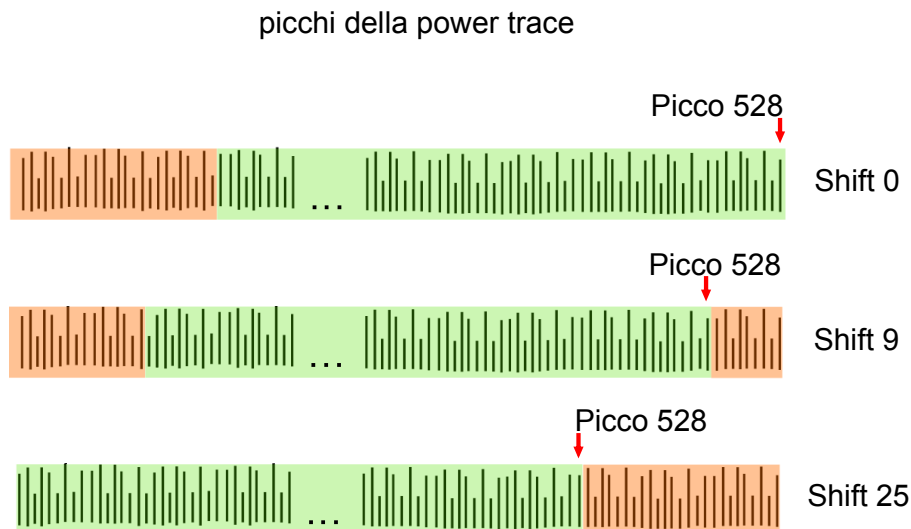


Figura 5.15: Le parti di colore arancione non sono coinvolte nella decodifica. Spostando il picco 528, da cui inizia l'attacco, i picchi vengono considerati in maniera diversa.

grafico in Fig. 5.16 possiamo visualizzare il risultato delle simulazioni. La serie in azzurro riporta le 25 simulazioni fatte con la chiave corretta. Per ognuna delle simulazioni riportiamo nel grafico un punto che ha come coordinate la media delle correlazioni della chiave corretta e la deviazione standard di queste. Ovviamente il risultato più attendibile sarà quello che ha correlazione più alta, che indica il successo del DPA, e la deviazione standard relativa più bassa, che mostra quanto le correlazioni calcolate siano attorno alla media. Questo valore è significativo poichè porta a verificare come i valori della correlazione siano omogenei e non frutto di una casualità data dalla somiglianza delle tracce acquisite con quelle ricavate. Come termine di paragone sono state riportate nel grafico due simulazioni fatte con chiavi non corrette e per distinguerle dalla simulazione corretta, sono state riportate in rosso e verde. I punti cerchiati rappresentano lo stesso shift, quello corretto, riportato alle tre diverse chiavi. Come si può vedere, le simulazioni con le chiavi sbagliate sono caratterizzate da una deviazione standard relativa alta oltre ad una correlazione bassa. Infatti

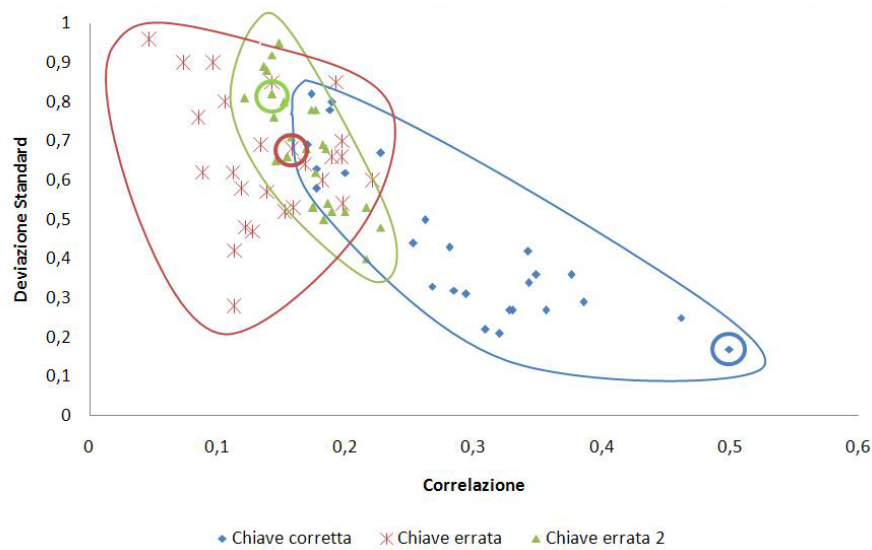


Figura 5.16: Grafico di correlazione mediata e deviazione standard relativa degli shift effettuati per individuare i picchi non coinvolti nella codifica Keeloq.

i risultati si collocano nella parte in alto a sinistra del grafico, risultando più compatti rispetto ai risultati azzurri. Gli shift, risultano tutti incorrelati in maniera uniforme. Lo si può notare poichè lo shift corretto è indistinguibile nelle simulazioni rosse e verdi e non emerge dal gruppo. Al contrario, nella simulazione azzurra, si può vedere come lo shift corretto si distingue dagli altri. Questo ci porta a capire come i risultati ottenuti tramite questa simulazione ci abbia dato un metodo valido per la determinazione dello shift da applicare alla nostra traccia di potenza che discrimini i picchi utili da quelli inutili.

Capitolo 6

Sviluppi futuri

6.1 Attacco DPA al ricevitore

Avendo conseguito un esito positivo nell'attacco al trasmettitore, è stato preso in esame il ricevitore e la possibilità di applicare un attacco DPA su di esso. I moduli che sono messi a disposizione da Microchip, come la famiglia HCS5XX, sono una serie di ricevitori dedicati alla decodifica del Keeloq, in accoppiamento con la famiglia di trasmettitori HCS3XX. L'implementazione e la decodifica di un ricevitore è più complessa di quella di un trasmettitore poiché la stazione ricevente può gestire più trasmettitori e quindi deve sia decodificare la trasmissione, sia verificare il telecomando e gestirlo in maniera differente a seconda della funzione a cui è stato associato. Inoltre in una stazione ricevente c'è implementata tutta la parte di apprendimento che consente di far apprendere alla parte ricevente un nuovo telecomando. Questa modalità aggiuntiva può variare da produttore a produttore in base al grado di sicurezza e alle scelte fatte in termini di progetto. Infatti la stazione ricevente può essere impostata per apprendere i telecomandi in maniera normale (soltanto utilizzando le trasmissioni) o in maniera sicura (utilizzando il seed, un codice diverso trasmesso soltanto durante la trasmissione). Inoltre il legame tra la chiave dispositivo e quella del produttore può essere diverso per ogni caso, a seconda dell'implementazione che il produttore ha scelto in fase di progettazione. Questo porta

ad aumentare ancora i casi che si possono trovare nello studio di una parte ricevente. L'hardware dedicato della famiglia di ricevitori HCS5XX è quindi più complesso rispetto a quello dei trasmettitori e inoltre vengono eseguite molte più operazioni durante il suo funzionamento. L'implementazione di funzioni molto più complesse richiede una maggiore difficoltà nello studio del device per applicare un attacco DPA, infatti è necessario capire dove avviene la parte di decodifica per poi studiarla nella power analysis.

Nello studio effettuato sulle ricevitori prese in esame, si è riscontrato un fenomeno importante: la maggior parte di queste ricevitori utilizza un microcontrollore generico per il funzionamento di tutta la stazione ricevente. Questo comporta che l'algoritmo di decodifica del Keeloq e tutta la gestione dei trasmettitori viene implementata via software sul microcontrollore. In questo caso l'analisi dell'algoritmo cambia totalmente rispetto a quella dei dispositivi con hardware dedicato.

6.1.1 Analisi aspetti hardware

I microcontrollori che possono essere usati per gestire una parte ricevente sono moltissimi e tutti con peculiarità differenti. Bisogna notare che negli ultimi anni vengono impiegati dispositivi più evoluti a basso consumo di potenza. Nel nostro caso, andando a misurare il consumo del dispositivo, abbiamo che la traccia di potenza registrata sullo shunt risulta più disturbata poiché il rumore che va a sovrapporsi al segnale utile è maggiore. In questa situazione la degenerazione dell'attacco DPA aumenta molto e sono necessarie più tracce e un setup più accurato che minimizzi il rumore.

La gestione all'interno di un controllore generico può introdurre altre componenti indesiderate nella traccia di potenza. Innanzitutto è necessario rimuovere le componenti collegate al microcontrollore che possono generare consumi di potenza che rovinano la traccia. Già la sola parte di ingresso, dove viene ricevuta il segnale da decodificare, introduce disturbi sulla traccia di potenza, tuttavia è necessaria e non può essere scollegata. Le periferiche interne al controllore

sotto attacco sono anch'esse fattori di disturbo, poichè non possono essere controllate in un dispositivo sotto attacco e se risultano parti di hardware attive, essendo collegate alla stessa linea di alimentazione, introducono un contributo di consumo di potenza che si somma al nostro segnale utile. Questo rende più complessa l'interpretazione della traccia, perchè non essendo a conoscenza di cosa può essere attivo all'interno del controllore, risulta molto difficile capire cos'è realmente contributo utile e cosa invece fa parte di altre operazioni o consumi interni.

Il processing della decodifica in un microcontrollore generico porta anche ad un problema di sincronizzazione della traccia. La decodifica, assieme alle altre operazioni effettuate a margine, sono implementate sullo stesso hardware e vengono processate allo stesso modo. Per questo motivo la potenza consumata dal dispositivo sarà simile in ogni parte del codice, sia quando il controllore esegue operazioni relative al Keeloq, sia quando ne compie altre. L'implementazione software fa sì che le operazioni Keeloq, che nel trasmettitore erano elaborate tramite hardware dedicato, vengano qui tradotte in operazioni base del microcontrollore. Per questo motivo, guardando il consumo di potenza, troveremo una traccia piuttosto uniforme poichè le operazioni svolte sono tutte riconducibili ad istruzioni assembly del microcontrollore e non a specifiche operazioni dedicate. In questo panorama, la decodifica del Keeloq risulta ben mimetizzata all'interno della traccia di potenza registrata e per questo è piuttosto complesso ricondursi alla struttura dell'algoritmo di decodifica. In una prima analisi è necessario trovare la posizione del codice in cui il controllore decodifica la trama. La localizzazione nella traccia di potenza, non essendo fattibile per somiglianza con quella del trasmettitore dove l'hardware era dedicato, viene fatta tramite considerazioni sul codice e sul comportamento del microcontrollore. Nella modalità di learning per esempio, è possibile individuare una zona, tra la fine della ricezione della trama e il segnale di avvenuta memorizzazione, dove la stazione ricevente deve elaborare la chiave cercando di decodificarla. In questo intervallo di traccia possiamo supporre che venga utilizzato l'algoritmo di decodifica Keeloq e che quindi sia la parte in cui deve essere applicato l'attacco DPA. In

questa parte è difficile che ci sia un trigger preciso su cui agganciare la nostra acquisizione, per questo si devono utilizzare altri sistemi. Il trigger che si può utilizzare per acquisire correttamente la porzione di traccia di nostro interesse è un trigger esterno, dato da un controllo di supporto che inizia l'acquisizione esattamente dopo la fine della trasmissione della trama o con un ritardo regolabile a seconda dell'implementazione utilizzata nel controllore preso in analisi.

6.1.2 Analisi degli aspetti software

L'implementazione a livello software del Keeloq è un altro aspetto da tenere presente nelle prestazioni dell'attacco DPA. L'utilizzo di codice per realizzare la decodifica può introdurre costrutti, tipo if o case-switch, che dipendono dai risultati parziali dell'elaborazione dei dati. Questo tipo di codice risulta più difficile da interpretare poichè diventa variabile quando i dati inseriti vengono cambiati. Quando accade questo ci possono essere variazioni nel numero di istruzioni necessarie per la decodifica, il che significa che non c'è una lunghezza fissa del codice. Per questo motivo trovare i punti intermedi fissi di traccia in traccia può risultare complesso e una prima elaborazione delle tracce può portare a risultati sbagliati se non si considera correttamente questo fenomeno. Un importante considerazione che dobbiamo fare quando si considera l'implementazione software della parte ricevente è che la decisione del codice da scrivere è lasciata al progettista. Questo aspetto, seppure scontato, può portare ad alcune complicazioni in fase di analisi del codice. Infatti quando si cerca di capire il funzionamento e come vengono implementate le varie funzioni si fanno delle ipotesi sulla costruzione del programma che si basano sull'implementazione standard fornita dal produttore, in questo caso Microchip. Tuttavia è possibile che il progettista della stazione ricevente abbia scelto strade differenti da quella standard, per ragioni di memoria o per comodità nella gestione delle altre funzioni. Per questo motivo le assunzioni che vengono fatte a priori sull'attacco, non potendo conoscere il codice di programmazione, possono risultare sbagliate. L'attacco DPA effettuato su ricevitori che non seguono il codice stan-

dard, nella migliore delle ipotesi può degenerare di molto le sue performance analizzando parti della traccia che non sono pertinenti alla decodifica Keeloq, ma che comunque sono correlati. Nell'ipotesi peggiore l'attacco non ha successo poichè l'implementazione dell'algoritmo, eseguita in maniera non standard, divisa in più parti o molto differente, porta all'analisi di punti della traccia che non sono relazionati con la decodifica e che quindi portano a risultati errati. In queste condizioni la parte ricevente può non essere attaccabile se non con uno studio di simulazione più approfondito e con informazioni aggiuntive sull'implementazione del codice contenuto nella parte ricevente.

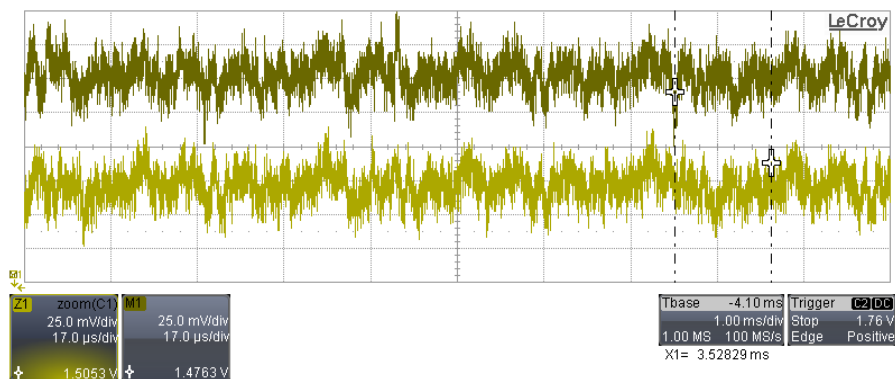


Figura 6.1: Acquisizione di due tracce di potenza dal ricevitore dello stesso periodo e scala, facendo elaborare al ricevitore gli stessi dati, nello stesso contesto

Vediamo in Fig. 6.1 le parti di due power trace che elaborano gli stessi dati. Si può notare come, pur essendoci alcune somiglianze tra le tracce, esse non siano tuttavia uguali e questo influenza di molto l'analisi. La parte di rumore sovrapposto porta a mutare notevolmente le tracce rendendole diverse tra loro e poco confrontabili. C'è anche un contributo di disallineamento tra le due. Come è possibile notare dalla posizione del cursore, pur elaborando gli stessi dati nello stesso contesto, le due tracce sono disallineate, poichè evidentemente alcune operazioni estranee alla codifica sono state processate dal microcontrollore. In questa situazione si rende quindi difficile l'allineamento delle tracce.

6.2 Conclusioni

L'algoritmo Keeloq preso in considerazione è stato molto studiato in letteratura e a livello crittografico sono stati trovati alcuni punti deboli che hanno permesso di progettare attacchi che ne rivelassero la sua debolezza. Tuttavia gli attacchi, poco praticabili nelle applicazioni reali, sono rimasti un valido punto di riferimento per l'analisi degli algoritmi crittografici e la valutazione della loro sicurezza.

Gli attacchi costruiti sull'analisi di potenza, che si basa sulle informazioni contenute nel consumo di potenza, mettono in evidenza le criticità dell'algoritmo Keeloq nelle implementazioni reali di quest'ultimo. L'hardware che contiene il Keeloq rivela delle informazioni correlate con la codifica e decodifica e quindi compromette in maniera rilevante la sicurezza dell'algoritmo. Da questo punto di vista l'utilizzo di questo algoritmo in applicazioni critiche deve essere considerato molto attentamente, poichè pur essendo un algoritmo di codifica piuttosto sicuro, può rivelarsi molto indebolito dall'hardware su cui è implementato. In questo studio è stato dimostrato come l'hardware dedicato, su cui vengono costruiti molti radiotrasmettitori basati su rolling code, è facilmente attaccabile e con le dovute considerazioni si può estrarre la chiave di codifica con dell'attrezzatura di costo contenuto e con una quantità esigua di tempo-macchina. D'altro canto l'implementazione su microcontrollori generici di questo algoritmo pone più incognite e una difficoltà maggiore nel reperire le informazioni sensibili, ma anche se si può tuttavia portare a termine l'attacco. L'attacco basato su DPA risulta efficace e potente per correlare il consumo di potenza con le informazioni sensibili processate all'interno del controllore e le contromisure che vengono prese possono deteriorarne le prestazioni, ma in molti casi non impedire l'attacco. Per questo motivo protocolli di sicurezza (come quelli utilizzati nei sistemi di denaro elettronico) richiedono hardware che ha un alto livello di immunità agli attacchi DPA. Enti, come il Cryptography Research (<http://www.cryptography.com/>), hanno sviluppato programmi di certificazione all'immunità agli attacchi DPA per rendere più sicuri dispositivi che vengono utilizzati in applicazioni critiche.

In questo contesto è importante valutare sia la robustezza dell'algoritmo utilizzato, sia l'immunità dell'hardware agli attacchi basati sull'analisi di potenza che potrebbe essere, come abbiamo visto, il punto debole del sistema che stiamo implementando.

Appendice A

Risultati attacco DPA

Riporto qui in appendice il risultato completo di un attacco DPA. L'attacco per recuperare la chiave da 64 bit è stato ripetuto 8 volte, recuperando 8 bit per ciclo. All'inizio di ogni ciclo viene riportata la chiave in esadecimale, divisa in due parti, `chiav_a` e `chiav_b`. La chiave viene elaborata divisa in due poiché i tipi di dato del programma scritti in C supportano al massimo 32 bit. I valori dei bit non ancora elaborati sono impostati al valore 'A'. Nei cicli successivi, si può notare come la chiave si completa man mano con i valori calcolati nei cicli precedenti. Nella riga successiva viene riportato, per ogni ciclo, la chiave ipotetica con il valore più alto tra tutte. Questa è la chiave candidata ad essere la chiave corretta. Infine vengono elencate tutte le chiavi ipotetiche con la corrispettiva correlazione calcolata. Questo valore di correlazione è la media delle correlazioni calcolate sugli otto cicli di codifica che interessano gli otto bit in esame.

```
|-----|
|*****|
|chiav_a = AAAAAAAA , chiav_b = AAAA47AA|
|*****|
|valore massimo = AAAA47AA, valore +0.6012|
|*****|
```

chiave		media		AAAA25AA		+0.5238
-----				AAAA26AA		+0.5369
AAAA00AA		+0.5332		AAAA27AA		+0.5569
AAAA01AA		+0.5397		AAAA28AA		+0.4750
AAAA02AA		+0.5495		AAAA29AA		+0.4784
AAAA03AA		+0.5515		AAAA2AAA		+0.4906
AAAA04AA		+0.5620		AAAA2BAA		+0.4986
AAAA05AA		+0.5537		AAAA2CAA		+0.4868
AAAA06AA		+0.5635		AAAA2DAA		+0.4817
AAAA07AA		+0.5903		AAAA2EAA		+0.4816
AAAA08AA		+0.5096		AAAA2FAA		+0.5040
AAAA09AA		+0.5118		AAAA30AA		+0.4885
AAAA0AAA		+0.5201		AAAA31AA		+0.4910
AAAA0BAA		+0.5327		AAAA32AA		+0.4958
AAAA0CAA		+0.5094		AAAA33AA		+0.5043
AAAA0DAA		+0.5067		AAAA34AA		+0.5071
AAAA0EAA		+0.5113		AAAA35AA		+0.5022
AAAA0FAA		+0.5309		AAAA36AA		+0.5109
AAAA10AA		+0.5363		AAAA37AA		+0.5329
AAAA11AA		+0.5380		AAAA38AA		+0.4813
AAAA12AA		+0.5388		AAAA39AA		+0.4848
AAAA13AA		+0.5518		AAAA3AAA		+0.4923
AAAA14AA		+0.5421		AAAA3BAA		+0.5016
AAAA15AA		+0.5404		AAAA3CAA		+0.4951
AAAA16AA		+0.5504		AAAA3DAA		+0.4889
AAAA17AA		+0.5686		AAAA3EAA		+0.4934
AAAA18AA		+0.5090		AAAA3FAA		+0.5136
AAAA19AA		+0.5154		AAAA40AA		+0.5339
AAAA1AAA		+0.5287		AAAA41AA		+0.5391
AAAA1BAA		+0.5322		AAAA42AA		+0.5417
AAAA1CAA		+0.5453		AAAA43AA		+0.5448
AAAA1DAA		+0.5366		AAAA44AA		+0.5732
AAAA1EAA		+0.5347		AAAA45AA		+0.5649
AAAA1FAA		+0.5607		AAAA46AA		+0.5781
AAAA20AA		+0.5080		AAAA47AA		+0.6012
AAAA21AA		+0.5114		AAAA48AA		+0.5155
AAAA22AA		+0.5115		AAAA49AA		+0.5170
AAAA23AA		+0.5220		AAAA4AAA		+0.5293
AAAA24AA		+0.5286		AAAA4BAA		+0.5374

AAAA4CAA		+0.5030	AAAA73AA		+0.5270
AAAA4DAA		+0.4988	AAAA74AA		+0.5384
AAAA4EAA		+0.5004	AAAA75AA		+0.5339
AAAA4FAA		+0.5181	AAAA76AA		+0.5443
AAAA50AA		+0.5300	AAAA77AA		+0.5654
AAAA51AA		+0.5312	AAAA78AA		+0.5073
AAAA52AA		+0.5329	AAAA79AA		+0.5100
AAAA53AA		+0.5414	AAAA7AAA		+0.5219
AAAA54AA		+0.5209	AAAA7BAA		+0.5275
AAAA55AA		+0.5189	AAAA7CAA		+0.5119
AAAA56AA		+0.5300	AAAA7DAA		+0.5058
AAAA57AA		+0.5459	AAAA7EAA		+0.5077
AAAA58AA		+0.4899	AAAA7FAA		+0.5266
AAAA59AA		+0.4960	AAAA80AA		+0.4911
AAAA5AAA		+0.5017	AAAA81AA		+0.4978
AAAA5BAA		+0.5053	AAAA82AA		+0.4949
AAAA5CAA		+0.5282	AAAA83AA		+0.5010
AAAA5DAA		+0.5214	AAAA84AA		+0.5446
AAAA5EAA		+0.5234	AAAA85AA		+0.5329
AAAA5FAA		+0.5445	AAAA86AA		+0.5461
AAAA60AA		+0.5295	AAAA87AA		+0.5760
AAAA61AA		+0.5328	AAAA88AA		+0.4781
AAAA62AA		+0.5402	AAAA89AA		+0.4796
AAAA63AA		+0.5447	AAAA8AAA		+0.4896
AAAA64AA		+0.5334	AAAA8BAA		+0.5038
AAAA65AA		+0.5303	AAAA8CAA		+0.4611
AAAA66AA		+0.5419	AAAA8DAA		+0.4576
AAAA67AA		+0.5596	AAAA8EAA		+0.4555
AAAA68AA		+0.4829	AAAA8FAA		+0.4781
AAAA69AA		+0.4872	AAAA90AA		+0.4954
AAAA6AAA		+0.4921	AAAA91AA		+0.4968
AAAA6BAA		+0.4977	AAAA92AA		+0.4937
AAAA6CAA		+0.4992	AAAA93AA		+0.5090
AAAA6DAA		+0.4968	AAAA94AA		+0.4903
AAAA6EAA		+0.5028	AAAA95AA		+0.4877
AAAA6FAA		+0.5233	AAAA96AA		+0.4967
AAAA70AA		+0.5159	AAAA97AA		+0.5201
AAAA71AA		+0.5186	AAAA98AA		+0.4551
AAAA72AA		+0.5211	AAAA99AA		+0.4622

AAAA9AAA		+0.4672	AAAAC1AA		+0.5055
AAAA9BAA		+0.4740	AAAAC2AA		+0.5068
AAAA9CAA		+0.5023	AAAAC3AA		+0.5142
AAAA9DAA		+0.4914	AAAAC4AA		+0.5290
AAAA9EAA		+0.4906	AAAAC5AA		+0.5210
AAAA9FAA		+0.5189	AAAAC6AA		+0.5279
AAAAA0AA		+0.4562	AAAAC7AA		+0.5552
AAAAA1AA		+0.4598	AAAAC8AA		+0.4659
AAAAA2AA		+0.4635	AAAAC9AA		+0.4688
AAAAA3AA		+0.4744	AAAACAAA		+0.4725
AAAAA4AA		+0.4737	AAAACBAA		+0.4847
AAAAA5AA		+0.4664	AAAACCAA		+0.4644
AAAAA6AA		+0.4748	AAAACDAA		+0.4599
AAAAA7AA		+0.5007	AAAACEAA		+0.4613
AAAAA8AA		+0.4029	AAAACFAA		+0.4810
AAAAA9AA		+0.4067	AAAAD0AA		+0.5020
AAAAA9AA		+0.4098	AAAAD1AA		+0.5044
AAAAABAA		+0.4201	AAAAD2AA		+0.5003
AAAAACAA		+0.4212	AAAAD3AA		+0.5120
AAAAADAA		+0.4152	AAAAD4AA		+0.5059
AAAAAEAA		+0.4186	AAAAD5AA		+0.5025
AAAAAFAA		+0.4423	AAAAD6AA		+0.5118
AAAAA0AA		+0.4347	AAAAD7AA		+0.5304
AAAAAB1AA		+0.4369	AAAAD8AA		+0.4709
AAAAAB2AA		+0.4345	AAAAD9AA		+0.4772
AAAAAB3AA		+0.4448	AAAADAAA		+0.4855
AAAAAB4AA		+0.4678	AAAADBAA		+0.4913
AAAAAB5AA		+0.4608	AAAADCAA		+0.5057
AAAAAB6AA		+0.4714	AAAADDAA		+0.4982
AAAAAB7AA		+0.4947	AAAADDEAA		+0.4924
AAAAAB8AA		+0.4344	AAAADFAA		+0.5170
AAAAAB9AA		+0.4379	AAAAE0AA		+0.5107
AAAAABAAA		+0.4486	AAAAE1AA		+0.5150
AAAAABBAA		+0.4575	AAAAE2AA		+0.5090
AAAAABCAA		+0.4419	AAAAE3AA		+0.5203
AAAAABDAA		+0.4335	AAAAE4AA		+0.5342
AAAAABEAA		+0.4316	AAAAE5AA		+0.5291
AAAAABFAA		+0.4552	AAAAE6AA		+0.5414
AAAAAC0AA		+0.4992	AAAAE7AA		+0.5639

AAAAE8AA		+0.4772	AAAAF4AA		+0.5026
AAAAE9AA		+0.4817	AAAAF5AA		+0.4980
AAAAEAAA		+0.4900	AAAAF6AA		+0.5041
AAAAEBAA		+0.5003	AAAAF7AA		+0.5293
AAAAECAA		+0.4842	AAAAF8AA		+0.4764
AAAAEDAA		+0.4804	AAAAF9AA		+0.4807
AAAAEEAA		+0.4758	AAAAFAAA		+0.4837
AAAAEFAA		+0.5003	AAAAFBAA		+0.4951
AAAAF0AA		+0.4916	AAAAFCAA		+0.4944
AAAAF1AA		+0.4954	AAAAFDAA		+0.4874
AAAAF2AA		+0.4932	AAAAFEAA		+0.4880
AAAAF3AA		+0.5050	AAAAFFAA		+0.5109

```

|-----|
|*****|
chiav_a = AAAAAAAA , chiav_b = AAAA4769
|*****|
valore massimo = AAAA4769, valore +0.5788
|*****|

```

chiave		media			
			AAAA471E		+0.4064
			AAAA471F		+0.4126
AAAA4700		+0.4660	AAAA4720		+0.4461
AAAA4701		+0.4907	AAAA4721		+0.4698
AAAA4702		+0.4632	AAAA4722		+0.4383
AAAA4703		+0.4592	AAAA4723		+0.4362
AAAA4704		+0.4570	AAAA4724		+0.4363
AAAA4705		+0.4759	AAAA4725		+0.4610
AAAA4706		+0.4438	AAAA4726		+0.4317
AAAA4707		+0.4463	AAAA4727		+0.4313
AAAA4708		+0.4872	AAAA4728		+0.4558
AAAA4709		+0.5133	AAAA4729		+0.4900
AAAA470A		+0.4765	AAAA472A		+0.4545
AAAA470B		+0.4713	AAAA472B		+0.4436
AAAA470C		+0.4552	AAAA472C		+0.4213
AAAA470D		+0.4714	AAAA472D		+0.4368
AAAA470E		+0.4547	AAAA472E		+0.4118
AAAA470F		+0.4596	AAAA472F		+0.4184
AAAA4710		+0.4320	AAAA4730		+0.4212
AAAA4711		+0.4550	AAAA4731		+0.4488
AAAA4712		+0.4240	AAAA4732		+0.4216
AAAA4713		+0.4218	AAAA4733		+0.4158
AAAA4714		+0.4235	AAAA4734		+0.4077
AAAA4715		+0.4450	AAAA4735		+0.4254
AAAA4716		+0.4199	AAAA4736		+0.3973
AAAA4717		+0.4202	AAAA4737		+0.3995
AAAA4718		+0.4527	AAAA4738		+0.4433
AAAA4719		+0.4847	AAAA4739		+0.4690
AAAA471A		+0.4492	AAAA473A		+0.4350
AAAA471B		+0.4402	AAAA473B		+0.4296
AAAA471C		+0.4119	AAAA473C		+0.4071
AAAA471D		+0.4282	AAAA473D		+0.4251

AAAA473E		+0.4106	AAAA4765		+0.5373
AAAA473F		+0.4141	AAAA4766		+0.5079
AAAA4740		+0.5023	AAAA4767		+0.5087
AAAA4741		+0.5258	AAAA4768		+0.5482
AAAA4742		+0.4970	AAAA4769		+0.5788
AAAA4743		+0.4935	AAAA476A		+0.5454
AAAA4744		+0.4907	AAAA476B		+0.5367
AAAA4745		+0.5107	AAAA476C		+0.5157
AAAA4746		+0.4803	AAAA476D		+0.5320
AAAA4747		+0.4810	AAAA476E		+0.5092
AAAA4748		+0.5138	AAAA476F		+0.5143
AAAA4749		+0.5448	AAAA4770		+0.4997
AAAA474A		+0.5046	AAAA4771		+0.5257
AAAA474B		+0.4964	AAAA4772		+0.4975
AAAA474C		+0.4797	AAAA4773		+0.4925
AAAA474D		+0.4947	AAAA4774		+0.4881
AAAA474E		+0.4736	AAAA4775		+0.5069
AAAA474F		+0.4801	AAAA4776		+0.4800
AAAA4750		+0.4710	AAAA4777		+0.4814
AAAA4751		+0.4971	AAAA4778		+0.5201
AAAA4752		+0.4644	AAAA4779		+0.5495
AAAA4753		+0.4606	AAAA477A		+0.5145
AAAA4754		+0.4599	AAAA477B		+0.5079
AAAA4755		+0.4798	AAAA477C		+0.4783
AAAA4756		+0.4531	AAAA477D		+0.4971
AAAA4757		+0.4544	AAAA477E		+0.4771
AAAA4758		+0.5005	AAAA477F		+0.4815
AAAA4759		+0.5294	AAAA4780		+0.4147
AAAA475A		+0.4939	AAAA4781		+0.4417
AAAA475B		+0.4862	AAAA4782		+0.4119
AAAA475C		+0.4602	AAAA4783		+0.4058
AAAA475D		+0.4765	AAAA4784		+0.4038
AAAA475E		+0.4586	AAAA4785		+0.4232
AAAA475F		+0.4630	AAAA4786		+0.3930
AAAA4760		+0.5268	AAAA4787		+0.3950
AAAA4761		+0.5526	AAAA4788		+0.4569
AAAA4762		+0.5186	AAAA4789		+0.4879
AAAA4763		+0.5158	AAAA478A		+0.4435
AAAA4764		+0.5143	AAAA478B		+0.4365

AAAA478C		+0.4149	AAAA47B3		+0.4205
AAAA478D		+0.4326	AAAA47B4		+0.4168
AAAA478E		+0.4159	AAAA47B5		+0.4348
AAAA478F		+0.4210	AAAA47B6		+0.4043
AAAA4790		+0.4004	AAAA47B7		+0.4070
AAAA4791		+0.4249	AAAA47B8		+0.4683
AAAA4792		+0.3924	AAAA47B9		+0.4974
AAAA4793		+0.3895	AAAA47BA		+0.4589
AAAA4794		+0.3892	AAAA47BB		+0.4526
AAAA4795		+0.4107	AAAA47BC		+0.4265
AAAA4796		+0.3865	AAAA47BD		+0.4469
AAAA4797		+0.3867	AAAA47BE		+0.4304
AAAA4798		+0.4068	AAAA47BF		+0.4339
AAAA4799		+0.4376	AAAA47C0		+0.4635
AAAA479A		+0.4014	AAAA47C1		+0.4847
AAAA479B		+0.3922	AAAA47C2		+0.4572
AAAA479C		+0.3636	AAAA47C3		+0.4531
AAAA479D		+0.3787	AAAA47C4		+0.4588
AAAA479E		+0.3615	AAAA47C5		+0.4767
AAAA479F		+0.3667	AAAA47C6		+0.4452
AAAA47A0		+0.4790	AAAA47C7		+0.4454
AAAA47A1		+0.5045	AAAA47C8		+0.4689
AAAA47A2		+0.4709	AAAA47C9		+0.4972
AAAA47A3		+0.4680	AAAA47CA		+0.4600
AAAA47A4		+0.4707	AAAA47CB		+0.4504
AAAA47A5		+0.4952	AAAA47CC		+0.4401
AAAA47A6		+0.4629	AAAA47CD		+0.4518
AAAA47A7		+0.4633	AAAA47CE		+0.4322
AAAA47A8		+0.4786	AAAA47CF		+0.4385
AAAA47A9		+0.5132	AAAA47D0		+0.4124
AAAA47AA		+0.4755	AAAA47D1		+0.4384
AAAA47AB		+0.4641	AAAA47D2		+0.4082
AAAA47AC		+0.4454	AAAA47D3		+0.4015
AAAA47AD		+0.4602	AAAA47D4		+0.4091
AAAA47AE		+0.4357	AAAA47D5		+0.4274
AAAA47AF		+0.4428	AAAA47D6		+0.3977
AAAA47B0		+0.4283	AAAA47D7		+0.3994
AAAA47B1		+0.4589	AAAA47D8		+0.4602
AAAA47B2		+0.4287	AAAA47D9		+0.4903

AAAA47DA		+0.4506	AAAA47ED		+0.4399
AAAA47DB		+0.4416	AAAA47EE		+0.4171
AAAA47DC		+0.4189	AAAA47EF		+0.4222
AAAA47DD		+0.4356	AAAA47F0		+0.4153
AAAA47DE		+0.4166	AAAA47F1		+0.4411
AAAA47DF		+0.4204	AAAA47F2		+0.4145
AAAA47E0		+0.4248	AAAA47F3		+0.4083
AAAA47E1		+0.4519	AAAA47F4		+0.4073
AAAA47E2		+0.4183	AAAA47F5		+0.4260
AAAA47E3		+0.4129	AAAA47F6		+0.3984
AAAA47E4		+0.4155	AAAA47F7		+0.3997
AAAA47E5		+0.4394	AAAA47F8		+0.4324
AAAA47E6		+0.4077	AAAA47F9		+0.4620
AAAA47E7		+0.4078	AAAA47FA		+0.4246
AAAA47E8		+0.4596	AAAA47FB		+0.4167
AAAA47E9		+0.4934	AAAA47FC		+0.3888
AAAA47EA		+0.4555	AAAA47FD		+0.4062
AAAA47EB		+0.4440	AAAA47FE		+0.3896
AAAA47EC		+0.4229	AAAA47FF		+0.3936

```

|-----|
|*****|
chiav_a = 47AAAAAA , chiav_b = AAAA4769
|*****|
valore massimo = 47AAAAAA, valore +0.5010
|*****|

```

chiave		media			
			1EAAAAAA		+0.3311
			1FAAAAAA		+0.3434
00AAAAAA		+0.3376	20AAAAAA		+0.3145
01AAAAAA		+0.3472	21AAAAAA		+0.3244
02AAAAAA		+0.3449	22AAAAAA		+0.3212
03AAAAAA		+0.3403	23AAAAAA		+0.3249
04AAAAAA		+0.3793	24AAAAAA		+0.3603
05AAAAAA		+0.3693	25AAAAAA		+0.3586
06AAAAAA		+0.3969	26AAAAAA		+0.3816
07AAAAAA		+0.4116	27AAAAAA		+0.3945
08AAAAAA		+0.3377	28AAAAAA		+0.3022
09AAAAAA		+0.3338	29AAAAAA		+0.3096
0AAAAAAA		+0.3396	2AAAAAAA		+0.3100
0BAAAAAA		+0.3517	2BAAAAAA		+0.3170
0CAAAAAA		+0.3328	2CAAAAAA		+0.2942
0DAAAAAA		+0.3385	2DAAAAAA		+0.2955
0EAAAAAA		+0.3533	2EAAAAAA		+0.3057
0FAAAAAA		+0.3533	2FAAAAAA		+0.3189
10AAAAAA		+0.3281	30AAAAAA		+0.3165
11AAAAAA		+0.3316	31AAAAAA		+0.3274
12AAAAAA		+0.3334	32AAAAAA		+0.3214
13AAAAAA		+0.3358	33AAAAAA		+0.3209
14AAAAAA		+0.3526	34AAAAAA		+0.3368
15AAAAAA		+0.3514	35AAAAAA		+0.3317
16AAAAAA		+0.3780	36AAAAAA		+0.3536
17AAAAAA		+0.3835	37AAAAAA		+0.3700
18AAAAAA		+0.3201	38AAAAAA		+0.3158
19AAAAAA		+0.3256	39AAAAAA		+0.3188
1AAAAAAA		+0.3304	3AAAAAAA		+0.3220
1BAAAAAA		+0.3323	3BAAAAAA		+0.3327
1CAAAAAA		+0.3235	3CAAAAAA		+0.3267
1DAAAAAA		+0.3192	3DAAAAAA		+0.3296

3EAAAAAA		+0.3367	65AAAAAA		+0.4013
3FAAAAAA		+0.3458	66AAAAAA		+0.4215
40AAAAAA		+0.4289	67AAAAAA		+0.4366
41AAAAAA		+0.4430	68AAAAAA		+0.3525
42AAAAAA		+0.4431	69AAAAAA		+0.3598
43AAAAAA		+0.4406	6AAAAAAA		+0.3601
44AAAAAA		+0.4656	6BAAAAAA		+0.3703
45AAAAAA		+0.4578	6CAAAAAA		+0.3405
46AAAAAA		+0.4814	6DAAAAAA		+0.3446
47AAAAAA		+0.5010	6EAAAAAA		+0.3534
48AAAAAA		+0.4266	6FAAAAAA		+0.3655
49AAAAAA		+0.4272	70AAAAAA		+0.3561
4AAAAAAA		+0.4334	71AAAAAA		+0.3682
4BAAAAAA		+0.4482	72AAAAAA		+0.3653
4CAAAAAA		+0.4195	73AAAAAA		+0.3669
4DAAAAAA		+0.4266	74AAAAAA		+0.3732
4EAAAAAA		+0.4367	75AAAAAA		+0.3703
4FAAAAAA		+0.4423	76AAAAAA		+0.3903
50AAAAAA		+0.4068	77AAAAAA		+0.4073
51AAAAAA		+0.4119	78AAAAAA		+0.3528
52AAAAAA		+0.4129	79AAAAAA		+0.3581
53AAAAAA		+0.4179	7AAAAAAA		+0.3614
54AAAAAA		+0.4235	7BAAAAAA		+0.3714
55AAAAAA		+0.4237	7CAAAAAA		+0.3634
56AAAAAA		+0.4454	7DAAAAAA		+0.3662
57AAAAAA		+0.4539	7EAAAAAA		+0.3745
58AAAAAA		+0.3968	7FAAAAAA		+0.3855
59AAAAAA		+0.4053	80AAAAAA		+0.3900
5AAAAAAA		+0.4090	81AAAAAA		+0.4056
5BAAAAAA		+0.4126	82AAAAAA		+0.4051
5CAAAAAA		+0.3983	83AAAAAA		+0.3987
5DAAAAAA		+0.3952	84AAAAAA		+0.4313
5EAAAAAA		+0.4034	85AAAAAA		+0.4204
5FAAAAAA		+0.4182	86AAAAAA		+0.4438
60AAAAAA		+0.3588	87AAAAAA		+0.4649
61AAAAAA		+0.3699	88AAAAAA		+0.3850
62AAAAAA		+0.3670	89AAAAAA		+0.3852
63AAAAAA		+0.3705	8AAAAAAA		+0.3883
64AAAAAA		+0.4029	8BAAAAAA		+0.4038

8CAAAAAA		+0.3773	B3AAAAAA		+0.2955
8DAAAAAA		+0.3850	B4AAAAAA		+0.3070
8EAAAAAA		+0.3977	B5AAAAAA		+0.3022
8FAAAAAA		+0.4032	B6AAAAAA		+0.3207
90AAAAAA		+0.3705	B7AAAAAA		+0.3395
91AAAAAA		+0.3776	B8AAAAAA		+0.2784
92AAAAAA		+0.3789	B9AAAAAA		+0.2857
93AAAAAA		+0.3840	BAAAAAAA		+0.2864
94AAAAAA		+0.3926	BBAAAAAA		+0.2962
95AAAAAA		+0.3925	BCAAAAAA		+0.2939
96AAAAAA		+0.4164	BDAAAAAA		+0.2965
97AAAAAA		+0.4272	BEAAAAAA		+0.3030
98AAAAAA		+0.3640	BFAAAAAA		+0.3168
99AAAAAA		+0.3731	C0AAAAAA		+0.3313
9AAAAAAA		+0.3762	C1AAAAAA		+0.3489
9BAAAAAA		+0.3790	C2AAAAAA		+0.3429
9CAAAAAA		+0.3671	C3AAAAAA		+0.3392
9DAAAAAA		+0.3635	C4AAAAAA		+0.3843
9EAAAAAA		+0.3725	C5AAAAAA		+0.3742
9FAAAAAA		+0.3882	C6AAAAAA		+0.3941
A0AAAAAA		+0.2881	C7AAAAAA		+0.4191
A1AAAAAA		+0.3020	C8AAAAAA		+0.3373
A2AAAAAA		+0.2963	C9AAAAAA		+0.3368
A3AAAAAA		+0.2993	CAAAAAAA		+0.3366
A4AAAAAA		+0.3437	CBAAAAAA		+0.3520
A5AAAAAA		+0.3416	CCAAAAAA		+0.3284
A6AAAAAA		+0.3606	CDAAAAAA		+0.3367
A7AAAAAA		+0.3803	CEAAAAAA		+0.3440
A8AAAAAA		+0.2905	CFAAAAAA		+0.3490
A9AAAAAA		+0.2998	D0AAAAAA		+0.3226
AAAAAAA		+0.2972	D1AAAAAA		+0.3286
ABAAAAAA		+0.3052	D2AAAAAA		+0.3270
ACAAAAAA		+0.2780	D3AAAAAA		+0.3313
ADAAAAAA		+0.2800	D4AAAAAA		+0.3410
AEAAAAAA		+0.2884	D5AAAAAA		+0.3410
AFAAAAAA		+0.3028	D6AAAAAA		+0.3619
B0AAAAAA		+0.2887	D7AAAAAA		+0.3710
B1AAAAAA		+0.3028	D8AAAAAA		+0.3061
B2AAAAAA		+0.2963	D9AAAAAA		+0.3170

DAAAAAAAA		+0.3174	EDAAAAAAAA		+0.3151
DBAAAAAAAA		+0.3206	EEAAAAAAAA		+0.3208
DCAAAAAAAA		+0.3130	EFAAAAAAAA		+0.3360
DDAAAAAAAA		+0.3089	F0AAAAAAAA		+0.3378
DEAAAAAAAA		+0.3168	F1AAAAAAAA		+0.3526
DFAAAAAAAA		+0.3349	F2AAAAAAAA		+0.3476
E0AAAAAAAA		+0.3363	F3AAAAAAAA		+0.3502
E1AAAAAAAA		+0.3494	F4AAAAAAAA		+0.3586
E2AAAAAAAA		+0.3442	F5AAAAAAAA		+0.3555
E3AAAAAAAA		+0.3472	F6AAAAAAAA		+0.3742
E4AAAAAAAA		+0.3776	F7AAAAAAAA		+0.3948
E5AAAAAAAA		+0.3756	F8AAAAAAAA		+0.3352
E6AAAAAAAA		+0.3942	F9AAAAAAAA		+0.3407
E7AAAAAAAA		+0.4106	FAAAAAAAAA		+0.3412
E8AAAAAAAA		+0.3187	FBAAAAAAAA		+0.3521
E9AAAAAAAA		+0.3282	FCAAAAAAAA		+0.3454
EAAAAAAAA		+0.3259	FDAAAAAAAA		+0.3490
EBAAAAAAAA		+0.3370	FEAAAAAAAA		+0.3541
ECAAAAAAAA		+0.3101	FFAAAAAAAA		+0.3658

```

|-----|
|*****|
chiav_a = 4772AAAA , chiav_b = AAAA4769
|*****|
valore massimo = 4772AAAA, valore +0.4623
|*****|

| chiave  ||||  media |                471EAAAA ||||  +0.3372
|-----|                471FAAAAA ||||  +0.3105
4700AAAA ||||  +0.3033                4720AAAA ||||  +0.2524
4701AAAA ||||  +0.3068                4721AAAA ||||  +0.2586
4702AAAA ||||  +0.3519                4722AAAA ||||  +0.3027
4703AAAA ||||  +0.3259                4723AAAA ||||  +0.2766
4704AAAA ||||  +0.3105                4724AAAA ||||  +0.2654
4705AAAA ||||  +0.3099                4725AAAA ||||  +0.2665
4706AAAA ||||  +0.3186                4726AAAA ||||  +0.2741
4707AAAA ||||  +0.2968                4727AAAA ||||  +0.2540
4708AAAA ||||  +0.3007                4728AAAA ||||  +0.2729
4709AAAA ||||  +0.3000                4729AAAA ||||  +0.2740
470AAAAA ||||  +0.3195                472AAAAA ||||  +0.2891
470BAAAA ||||  +0.2976                472BAAAA ||||  +0.2709
470CAAAA ||||  +0.2807                472CAAAA ||||  +0.2524
470DAAAA ||||  +0.2857                472DAAAA ||||  +0.2588
470EAAAA ||||  +0.3192                472EAAAA ||||  +0.2896
470FAAAA ||||  +0.2939                472FAAAA ||||  +0.2669
4710AAAA ||||  +0.2866                4730AAAA ||||  +0.3180
4711AAAA ||||  +0.2940                4731AAAA ||||  +0.3241
4712AAAA ||||  +0.3518                4732AAAA ||||  +0.3712
4713AAAA ||||  +0.3231                4733AAAA ||||  +0.3479
4714AAAA ||||  +0.3206                4734AAAA ||||  +0.3327
4715AAAA ||||  +0.3177                4735AAAA ||||  +0.3319
4716AAAA ||||  +0.3168                4736AAAA ||||  +0.3288
4717AAAA ||||  +0.2967                4737AAAA ||||  +0.3109
4718AAAA ||||  +0.3089                4738AAAA ||||  +0.3196
4719AAAA ||||  +0.3049                4739AAAA ||||  +0.3192
471AAAAA ||||  +0.3195                473AAAAA ||||  +0.3284
471BAAAA ||||  +0.2987                473BAAAA ||||  +0.3074
471CAAAA ||||  +0.2884                473CAAAA ||||  +0.2946
471DAAAA ||||  +0.2957                473DAAAA ||||  +0.3013

```

473EAAAA		+0.3427	4765AAAA		+0.3297
473FAAAA		+0.3178	4766AAAA		+0.3376
4740AAAA		+0.3218	4767AAAA		+0.3111
4741AAAA		+0.3269	4768AAAA		+0.3455
4742AAAA		+0.3778	4769AAAA		+0.3453
4743AAAA		+0.3490	476AAAAA		+0.3671
4744AAAA		+0.3295	476BAAAA		+0.3433
4745AAAA		+0.3303	476CAAAA		+0.3162
4746AAAA		+0.3377	476DAAAA		+0.3235
4747AAAA		+0.3135	476EAAAA		+0.3584
4748AAAA		+0.3118	476FAAAA		+0.3314
4749AAAA		+0.3126	4770AAAA		+0.3920
474AAAAA		+0.3314	4771AAAA		+0.3987
474BAAAA		+0.3077	4772AAAA		+0.4623
474CAAAA		+0.2934	4773AAAA		+0.4317
474DAAAA		+0.2990	4774AAAA		+0.4124
474EAAAA		+0.3348	4775AAAA		+0.4095
474FAAAA		+0.3087	4776AAAA		+0.4087
4750AAAA		+0.3124	4777AAAA		+0.3858
4751AAAA		+0.3206	4778AAAA		+0.3701
4752AAAA		+0.3758	4779AAAA		+0.3672
4753AAAA		+0.3461	477AAAAA		+0.3888
4754AAAA		+0.3408	477BAAAA		+0.3613
4755AAAA		+0.3375	477CAAAA		+0.3514
4756AAAA		+0.3371	477DAAAA		+0.3571
4757AAAA		+0.3145	477EAAAA		+0.3977
4758AAAA		+0.3417	477FAAAA		+0.3724
4759AAAA		+0.3392	4780AAAA		+0.2873
475AAAAA		+0.3534	4781AAAA		+0.2933
475BAAAA		+0.3305	4782AAAA		+0.3458
475CAAAA		+0.3114	4783AAAA		+0.3155
475DAAAA		+0.3201	4784AAAA		+0.2963
475EAAAA		+0.3623	4785AAAA		+0.2984
475FAAAA		+0.3332	4786AAAA		+0.3073
4760AAAA		+0.3114	4787AAAA		+0.2831
4761AAAA		+0.3167	4788AAAA		+0.3033
4762AAAA		+0.3729	4789AAAA		+0.3040
4763AAAA		+0.3411	478AAAAA		+0.3216
4764AAAA		+0.3300	478BAAAA		+0.2975

478CAAAA		+0.2782	47B3AAAA		+0.3625
478DAAAA		+0.2849	47B4AAAA		+0.3495
478EAAAA		+0.3263	47B5AAAA		+0.3492
478FAAAA		+0.2963	47B6AAAA		+0.3445
4790AAAA		+0.2892	47B7AAAA		+0.3230
4791AAAA		+0.2975	47B8AAAA		+0.3341
4792AAAA		+0.3648	47B9AAAA		+0.3342
4793AAAA		+0.3316	47BAAAAA		+0.3462
4794AAAA		+0.3090	47BBAAAA		+0.3200
4795AAAA		+0.3078	47BCAAAA		+0.3024
4796AAAA		+0.3070	47BDAAAA		+0.3124
4797AAAA		+0.2823	47BEAAAA		+0.3592
4798AAAA		+0.2913	47BFAAAA		+0.3295
4799AAAA		+0.2893	47C0AAAA		+0.2682
479AAAAA		+0.2978	47C1AAAA		+0.2723
479BAAAA		+0.2751	47C2AAAA		+0.3177
479CAAAA		+0.2552	47C3AAAA		+0.2914
479DAAAA		+0.2655	47C4AAAA		+0.2709
479EAAAA		+0.3199	47C5AAAA		+0.2723
479FAAAA		+0.2866	47C6AAAA		+0.2806
47A0AAAA		+0.2524	47C7AAAA		+0.2571
47A1AAAA		+0.2604	47C8AAAA		+0.2483
47A2AAAA		+0.3106	47C9AAAA		+0.2492
47A3AAAA		+0.2771	47CAAAAA		+0.2681
47A4AAAA		+0.2627	47CBAAAA		+0.2436
47A5AAAA		+0.2649	47CCAAAA		+0.2340
47A6AAAA		+0.2727	47CDAAAA		+0.2395
47A7AAAA		+0.2481	47CEAAAA		+0.2746
47A8AAAA		+0.2639	47CFAAAA		+0.2485
47A9AAAA		+0.2659	47D0AAAA		+0.2455
47AAAAAA		+0.2830	47D1AAAA		+0.2543
47ABAAAA		+0.2596	47D2AAAA		+0.3079
47ACAAAA		+0.2331	47D3AAAA		+0.2782
47ADAAAA		+0.2422	47D4AAAA		+0.2823
47AEAAAA		+0.2834	47D5AAAA		+0.2796
47AFAAAA		+0.2530	47D6AAAA		+0.2783
47B0AAAA		+0.3233	47D7AAAA		+0.2600
47B1AAAA		+0.3328	47D8AAAA		+0.2865
47B2AAAA		+0.3946	47D9AAAA		+0.2829

47DAAAAA		+0.2951	47EDAAAA		+0.2759
47DBAAAA		+0.2760	47EEAAAA		+0.3096
47DCAAAA		+0.2583	47EFAAAA		+0.2823
47DDAAAA		+0.2680	47F0AAAA		+0.3373
47DEAAAA		+0.3057	47F1AAAA		+0.3440
47DFAAAA		+0.2776	47F2AAAA		+0.4000
47E0AAAA		+0.2521	47F3AAAA		+0.3711
47E1AAAA		+0.2590	47F4AAAA		+0.3483
47E2AAAA		+0.3110	47F5AAAA		+0.3476
47E3AAAA		+0.2787	47F6AAAA		+0.3472
47E4AAAA		+0.2741	47F7AAAA		+0.3243
47E5AAAA		+0.2753	47F8AAAA		+0.3112
47E6AAAA		+0.2845	47F9AAAA		+0.3092
47E7AAAA		+0.2612	47FAAAAA		+0.3218
47E8AAAA		+0.2923	47FBAAAA		+0.2956
47E9AAAA		+0.2926	47FCAAAA		+0.2919
47EAAAAA		+0.3096	47FDAAAA		+0.2994
47EBAAAA		+0.2888	47FEAAAA		+0.3459
47ECAAAA		+0.2679	47FFAAAA		+0.3165

```

|-----|
|*****|
chiav_a = 477273AA , chiav_b = AAAA4769
|*****|
valore massimo = 477273AA, valore +0.4788
|*****|

```

chiave		media			
			47721EAA		+0.3023
			47721FAA		+0.3021
477200AA		+0.3045	477220AA		+0.2626
477201AA		+0.3301	477221AA		+0.2842
477202AA		+0.3242	477222AA		+0.2727
477203AA		+0.3552	477223AA		+0.3045
477204AA		+0.2782	477224AA		+0.2505
477205AA		+0.3044	477225AA		+0.2782
477206AA		+0.2761	477226AA		+0.2505
477207AA		+0.2992	477227AA		+0.2814
477208AA		+0.2952	477228AA		+0.2511
477209AA		+0.3194	477229AA		+0.2745
47720AAA		+0.3081	47722AAA		+0.2722
47720BAA		+0.3397	47722BAA		+0.3063
47720CAA		+0.2930	47722CAA		+0.2382
47720DAA		+0.3190	47722DAA		+0.2643
47720EAA		+0.2917	47722EAA		+0.2529
47720FAA		+0.3223	47722FAA		+0.2542
477210AA		+0.3472	477230AA		+0.3222
477211AA		+0.3725	477231AA		+0.3476
477212AA		+0.3727	477232AA		+0.3506
477213AA		+0.4050	477233AA		+0.3832
477214AA		+0.3138	477234AA		+0.2864
477215AA		+0.3433	477235AA		+0.3121
477216AA		+0.3074	477236AA		+0.2915
477217AA		+0.3370	477237AA		+0.2975
477218AA		+0.2741	477238AA		+0.2571
477219AA		+0.3000	477239AA		+0.2780
47721AAA		+0.2864	47723AAA		+0.2673
47721BAA		+0.3232	47723BAA		+0.2903
47721CAA		+0.2720	47723CAA		+0.2615
47721DAA		+0.3012	47723DAA		+0.2876

47723EAA		+0.2834	477265AA		+0.3878
47723FAA		+0.2956	477266AA		+0.3630
477240AA		+0.3077	477267AA		+0.3882
477241AA		+0.3279	477268AA		+0.3782
477242AA		+0.3242	477269AA		+0.3980
477243AA		+0.3518	47726AAA		+0.3963
477244AA		+0.2841	47726BAA		+0.4229
477245AA		+0.3065	47726CAA		+0.3675
477246AA		+0.2792	47726DAA		+0.3882
477247AA		+0.3030	47726EAA		+0.3625
477248AA		+0.2844	47726FAA		+0.3864
477249AA		+0.3058	477270AA		+0.4312
47724AAA		+0.2998	477271AA		+0.4505
47724BAA		+0.3292	477272AA		+0.4534
47724CAA		+0.2751	477273AA		+0.4788
47724DAA		+0.2982	477274AA		+0.4009
47724EAA		+0.2711	477275AA		+0.4231
47724FAA		+0.2965	477276AA		+0.3922
477250AA		+0.3298	477277AA		+0.4164
477251AA		+0.3516	477278AA		+0.3689
477252AA		+0.3572	477279AA		+0.3887
477253AA		+0.3853	47727AAA		+0.3756
477254AA		+0.2986	47727BAA		+0.4061
477255AA		+0.3231	47727CAA		+0.3666
477256AA		+0.2859	47727DAA		+0.3885
477257AA		+0.3112	47727EAA		+0.3707
477258AA		+0.2841	47727FAA		+0.3941
477259AA		+0.3047	477280AA		+0.2480
47725AAA		+0.2913	477281AA		+0.2693
47725BAA		+0.3210	477282AA		+0.2876
47725CAA		+0.2798	477283AA		+0.2909
47725DAA		+0.3023	477284AA		+0.2475
47725EAA		+0.2830	477285AA		+0.2436
47725FAA		+0.3063	477286AA		+0.2543
477260AA		+0.3850	477287AA		+0.2406
477261AA		+0.4052	477288AA		+0.2470
477262AA		+0.4010	477289AA		+0.2587
477263AA		+0.4289	47728AAA		+0.2673
477264AA		+0.3654	47728BAA		+0.2817

47728CAA		+0.2408	4772B3AA		+0.3560
47728DAA		+0.2580	4772B4AA		+0.3131
47728EAA		+0.2651	4772B5AA		+0.2999
47728FAA		+0.2546	4772B6AA		+0.3161
477290AA		+0.2764	4772B7AA		+0.2897
477291AA		+0.3017	4772B8AA		+0.2971
477292AA		+0.3157	4772B9AA		+0.2778
477293AA		+0.3360	4772BAAA		+0.3116
477294AA		+0.2626	4772BBAA		+0.2883
477295AA		+0.2822	4772BCAA		+0.3003
477296AA		+0.2653	4772BDAA		+0.2843
477297AA		+0.2686	4772BEAA		+0.3221
477298AA		+0.2447	4772BFAA		+0.3007
477299AA		+0.2399	4772C0AA		+0.2992
47729AAA		+0.2653	4772C1AA		+0.3209
47729BAA		+0.2558	4772C2AA		+0.3190
47729CAA		+0.2411	4772C3AA		+0.3478
47729DAA		+0.2322	4772C4AA		+0.2792
47729EAA		+0.2693	4772C5AA		+0.3029
47729FAA		+0.2426	4772C6AA		+0.2808
4772A0AA		+0.2738	4772C7AA		+0.2955
4772A1AA		+0.2865	4772C8AA		+0.2841
4772A2AA		+0.3099	4772C9AA		+0.3066
4772A3AA		+0.3069	4772CAAA		+0.2970
4772A4AA		+0.2850	4772CBAA		+0.3295
4772A5AA		+0.2836	4772CCAA		+0.2723
4772A6AA		+0.2907	4772CDAA		+0.2980
4772A7AA		+0.2806	4772CEAA		+0.2722
4772A8AA		+0.2783	4772CFAA		+0.2983
4772A9AA		+0.2796	4772D0AA		+0.3364
4772AAAA		+0.3009	4772D1AA		+0.3581
4772ABAA		+0.3036	4772D2AA		+0.3622
4772ACAA		+0.2673	4772D3AA		+0.3942
4772ADAA		+0.2638	4772D4AA		+0.3025
4772AEAA		+0.2866	4772D5AA		+0.3291
4772AFAA		+0.2623	4772D6AA		+0.2913
4772B0AA		+0.3196	4772D7AA		+0.3189
4772B1AA		+0.3288	4772D8AA		+0.2919
4772B2AA		+0.3588	4772D9AA		+0.3113

4772DAAA		+0.3082	4772EDAA		+0.3225
4772DBAA		+0.3349	4772EEAA		+0.2949
4772DCAA		+0.2893	4772EFAA		+0.3131
4772DDAA		+0.3119	4772F0AA		+0.3591
4772DEAA		+0.3193	4772F1AA		+0.3805
4772DFAA		+0.3125	4772F2AA		+0.3869
4772E0AA		+0.3170	4772F3AA		+0.4160
4772E1AA		+0.3374	4772F4AA		+0.3305
4772E2AA		+0.3275	4772F5AA		+0.3553
4772E3AA		+0.3594	4772F6AA		+0.3144
4772E4AA		+0.2968	4772F7AA		+0.3408
4772E5AA		+0.3229	4772F8AA		+0.2942
4772E6AA		+0.2987	4772F9AA		+0.3151
4772E7AA		+0.3268	4772FAAA		+0.2952
4772E8AA		+0.3098	4772FBAA		+0.3282
4772E9AA		+0.3307	4772FCAA		+0.2903
4772EAAA		+0.3322	4772FDAA		+0.3149
4772EBAA		+0.3653	4772FEAA		+0.3045
4772ECAA		+0.2986	4772FFAA		+0.3238

```

|-----|
|*****|
chiav_a = 47727365 , chiav_b = AAAA4769
|*****|
valore massimo = 47727365, valore +0.4166
|*****|

```

chiave		media				
			4772731E		+0.2489	
			4772731F		+0.2471	
47727300		+0.2551	47727320		+0.2197	
47727301		+0.2645	47727321		+0.2263	
47727302		+0.2533	47727322		+0.2216	
47727303		+0.2658	47727323		+0.2334	
47727304		+0.3056	47727324		+0.2781	
47727305		+0.3350	47727325		+0.3050	
47727306		+0.3056	47727326		+0.2718	
47727307		+0.2983	47727327		+0.2641	
47727308		+0.2648	47727328		+0.2433	
47727309		+0.2861	47727329		+0.2603	
4772730A		+0.2626	4772732A		+0.2339	
4772730B		+0.2630	4772732B		+0.2353	
4772730C		+0.2882	4772732C		+0.2548	
4772730D		+0.3079	4772732D		+0.2711	
4772730E		+0.2880	4772732E		+0.2590	
4772730F		+0.2910	4772732F		+0.2616	
47727310		+0.2023	47727330		+0.2865	
47727311		+0.2137	47727331		+0.3004	
47727312		+0.2222	47727332		+0.3007	
47727313		+0.2299	47727333		+0.3089	
47727314		+0.2766	47727334		+0.3386	
47727315		+0.3017	47727335		+0.3616	
47727316		+0.2551	47727336		+0.3257	
47727317		+0.2505	47727337		+0.3244	
47727318		+0.2265	47727338		+0.2910	
47727319		+0.2407	47727339		+0.3077	
4772731A		+0.2004	4772733A		+0.2750	
4772731B		+0.2054	4772733B		+0.2800	
4772731C		+0.2288	4772733C		+0.3037	
4772731D		+0.2500	4772733D		+0.3260	

4772733E		+0.3158	47727365		+0.4166
4772733F		+0.3163	47727366		+0.3823
47727340		+0.2712	47727367		+0.3757
47727341		+0.2801	47727368		+0.3340
47727342		+0.2692	47727369		+0.3549
47727343		+0.2815	4772736A		+0.3241
47727344		+0.3138	4772736B		+0.3257
47727345		+0.3411	4772736C		+0.3460
47727346		+0.3133	4772736D		+0.3654
47727347		+0.3057	4772736E		+0.3490
47727348		+0.2910	4772736F		+0.3540
47727349		+0.3095	47727370		+0.2914
4772734A		+0.2860	47727371		+0.3041
4772734B		+0.2869	47727372		+0.3064
4772734C		+0.3110	47727373		+0.3145
4772734D		+0.3282	47727374		+0.3512
4772734E		+0.3106	47727375		+0.3754
4772734F		+0.3135	47727376		+0.3340
47727350		+0.3076	47727377		+0.3303
47727351		+0.3210	47727378		+0.3152
47727352		+0.3252	47727379		+0.3291
47727353		+0.3337	4772737A		+0.2906
47727354		+0.3677	4772737B		+0.2968
47727355		+0.3890	4772737C		+0.3202
47727356		+0.3512	4772737D		+0.3419
47727357		+0.3497	4772737E		+0.3341
47727358		+0.3128	4772737F		+0.3324
47727359		+0.3278	47727380		+0.2342
4772735A		+0.2898	47727381		+0.2424
4772735B		+0.2946	47727382		+0.2332
4772735C		+0.3108	47727383		+0.2446
4772735D		+0.3315	47727384		+0.2783
4772735E		+0.3287	47727385		+0.3032
4772735F		+0.3288	47727386		+0.2804
47727360		+0.3279	47727387		+0.2745
47727361		+0.3380	47727388		+0.2431
47727362		+0.3299	47727389		+0.2596
47727363		+0.3458	4772738A		+0.2410
47727364		+0.3869	4772738B		+0.2416

4772738C		+0.2632	477273B3		+0.2609
4772738D		+0.2784	477273B4		+0.2918
4772738E		+0.2614	477273B5		+0.3126
4772738F		+0.2646	477273B6		+0.2819
47727390		+0.2305	477273B7		+0.2804
47727391		+0.2427	477273B8		+0.2478
47727392		+0.2483	477273B9		+0.2611
47727393		+0.2554	477273BA		+0.2313
47727394		+0.2904	477273BB		+0.2367
47727395		+0.3105	477273BC		+0.2641
47727396		+0.2744	477273BD		+0.2840
47727397		+0.2720	477273BE		+0.2759
47727398		+0.2448	477273BF		+0.2772
47727399		+0.2572	477273C0		+0.2156
4772739A		+0.2239	477273C1		+0.2247
4772739B		+0.2284	477273C2		+0.2129
4772739C		+0.2446	477273C3		+0.2248
4772739D		+0.2636	477273C4		+0.2647
4772739E		+0.2628	477273C5		+0.2920
4772739F		+0.2621	477273C6		+0.2699
477273A0		+0.2219	477273C7		+0.2628
477273A1		+0.2299	477273C8		+0.2325
477273A2		+0.2247	477273C9		+0.2491
477273A3		+0.2374	477273CA		+0.2324
477273A4		+0.2810	477273CB		+0.2339
477273A5		+0.3072	477273CC		+0.2564
477273A6		+0.2778	477273CD		+0.2745
477273A7		+0.2719	477273CE		+0.2575
477273A8		+0.2373	477273CF		+0.2594
477273A9		+0.2533	477273D0		+0.2033
477273AA		+0.2304	477273D1		+0.2144
477273AB		+0.2322	477273D2		+0.2244
477273AC		+0.2485	477273D3		+0.2339
477273AD		+0.2641	477273D4		+0.2790
477273AE		+0.2533	477273D5		+0.3021
477273AF		+0.2567	477273D6		+0.2633
477273B0		+0.2383	477273D7		+0.2598
477273B1		+0.2496	477273D8		+0.2194
477273B2		+0.2522	477273D9		+0.2333

477273DA		+0.1937	477273ED		+0.2716
477273DB		+0.1980	477273EE		+0.2573
477273DC		+0.2224	477273EF		+0.2614
477273DD		+0.2433	477273F0		+0.2616
477273DE		+0.2444	477273F1		+0.2723
477273DF		+0.2449	477273F2		+0.2740
477273E0		+0.2326	477273F3		+0.2807
477273E1		+0.2419	477273F4		+0.3146
477273E2		+0.2364	477273F5		+0.3342
477273E3		+0.2510	477273F6		+0.3019
477273E4		+0.2959	477273F7		+0.2991
477273E5		+0.3239	477273F8		+0.2878
477273E6		+0.2940	477273F9		+0.2990
477273E7		+0.2880	477273FA		+0.2693
477273E8		+0.2408	477273FB		+0.2744
477273E9		+0.2578	477273FC		+0.2913
477273EA		+0.2322	477273FD		+0.3108
477273EB		+0.2334	477273FE		+0.3055
477273EC		+0.2544	477273FF		+0.3038

```

|-----|
|*****|
chiav_a = 47727365 , chiav_b = 65AA4769
|*****|
valore massimo = 65AA4769, valore +0.4832
|*****|

```

chiave		media				
			1EAA4769		+0.1787	
			1FAA4769		+0.1870	
00AA4769		+0.2235	20AA4769		+0.2273	
01AA4769		+0.2389	21AA4769		+0.2464	
02AA4769		+0.1933	22AA4769		+0.1956	
03AA4769		+0.2067	23AA4769		+0.2128	
04AA4769		+0.2649	24AA4769		+0.2935	
05AA4769		+0.2938	25AA4769		+0.3226	
06AA4769		+0.2387	26AA4769		+0.2571	
07AA4769		+0.2412	27AA4769		+0.2644	
08AA4769		+0.2419	28AA4769		+0.2355	
09AA4769		+0.2602	29AA4769		+0.2548	
0AAA4769		+0.2258	2AAA4769		+0.2168	
0BAA4769		+0.2367	2BAA4769		+0.2313	
0CAA4769		+0.2488	2CAA4769		+0.2349	
0DAA4769		+0.2699	2DAA4769		+0.2599	
0EAA4769		+0.2195	2EAA4769		+0.2065	
0FAA4769		+0.2273	2FAA4769		+0.2161	
10AA4769		+0.2066	30AA4769		+0.2165	
11AA4769		+0.2255	31AA4769		+0.2341	
12AA4769		+0.1747	32AA4769		+0.1840	
13AA4769		+0.1905	33AA4769		+0.1990	
14AA4769		+0.2456	34AA4769		+0.2335	
15AA4769		+0.2753	35AA4769		+0.2646	
16AA4769		+0.2164	36AA4769		+0.2081	
17AA4769		+0.2220	37AA4769		+0.2149	
18AA4769		+0.2180	38AA4769		+0.2117	
19AA4769		+0.2387	39AA4769		+0.2325	
1AAA4769		+0.1973	3AAA4769		+0.1930	
1BAA4769		+0.2066	3BAA4769		+0.2050	
1CAA4769		+0.2093	3CAA4769		+0.2128	
1DAA4769		+0.2322	3DAA4769		+0.2345	

3EAA4769		+0.1773	65AA4769		+0.4832
3FAA4769		+0.1868	66AA4769		+0.4284
40AA4769		+0.2941	67AA4769		+0.4301
41AA4769		+0.3152	68AA4769		+0.3692
42AA4769		+0.2651	69AA4769		+0.3905
43AA4769		+0.2774	6AAA4769		+0.3572
44AA4769		+0.3518	6BAA4769		+0.3694
45AA4769		+0.3818	6CAA4769		+0.3784
46AA4769		+0.3211	6DAA4769		+0.4021
47AA4769		+0.3276	6EAA4769		+0.3498
48AA4769		+0.3295	6FAA4769		+0.3598
49AA4769		+0.3452	70AA4769		+0.3128
4AAA4769		+0.3088	71AA4769		+0.3339
4BAA4769		+0.3266	72AA4769		+0.2848
4CAA4769		+0.3248	73AA4769		+0.2966
4DAA4769		+0.3521	74AA4769		+0.3402
4EAA4769		+0.3045	75AA4769		+0.3665
4FAA4769		+0.3106	76AA4769		+0.3139
50AA4769		+0.3315	77AA4769		+0.3226
51AA4769		+0.3456	78AA4769		+0.3351
52AA4769		+0.2956	79AA4769		+0.3501
53AA4769		+0.3155	7AAA4769		+0.3125
54AA4769		+0.3599	7BAA4769		+0.3271
55AA4769		+0.3928	7CAA4769		+0.3395
56AA4769		+0.3442	7DAA4769		+0.3661
57AA4769		+0.3463	7EAA4769		+0.3134
58AA4769		+0.2758	7FAA4769		+0.3195
59AA4769		+0.3024	80AA4769		+0.2331
5AAA4769		+0.2620	81AA4769		+0.2524
5BAA4769		+0.2693	82AA4769		+0.2069
5CAA4769		+0.3007	83AA4769		+0.2194
5DAA4769		+0.3212	84AA4769		+0.2723
5EAA4769		+0.2645	85AA4769		+0.2992
5FAA4769		+0.2779	86AA4769		+0.2433
60AA4769		+0.4034	87AA4769		+0.2509
61AA4769		+0.4165	88AA4769		+0.2561
62AA4769		+0.3708	89AA4769		+0.2712
63AA4769		+0.3890	8AAA4769		+0.2393
64AA4769		+0.4528	8BAA4769		+0.2561

8CAA4769		+0.2564	B3AA4769		+0.2539
8DAA4769		+0.2799	B4AA4769		+0.2911
8EAA4769		+0.2323	B5AA4769		+0.3145
8FAA4769		+0.2384	B6AA4769		+0.2679
90AA4769		+0.2248	B7AA4769		+0.2788
91AA4769		+0.2405	B8AA4769		+0.2675
92AA4769		+0.1918	B9AA4769		+0.2821
93AA4769		+0.2149	BAAA4769		+0.2503
94AA4769		+0.2657	BBAA4769		+0.2660
95AA4769		+0.2997	BCAA4769		+0.2735
96AA4769		+0.2417	BDAA4769		+0.2979
97AA4769		+0.2467	BEAA4769		+0.2476
98AA4769		+0.2298	BFAA4769		+0.2539
99AA4769		+0.2560	C0AA4769		+0.2656
9AAA4769		+0.2158	C1AA4769		+0.2802
9BAA4769		+0.2252	C2AA4769		+0.2390
9CAA4769		+0.2305	C3AA4769		+0.2519
9DAA4769		+0.2511	C4AA4769		+0.3208
9EAA4769		+0.1977	C5AA4769		+0.3477
9FAA4769		+0.2120	C6AA4769		+0.2962
A0AA4769		+0.3055	C7AA4769		+0.2974
A1AA4769		+0.3178	C8AA4769		+0.3021
A2AA4769		+0.2805	C9AA4769		+0.3165
A3AA4769		+0.2999	CAAA4769		+0.2877
A4AA4769		+0.3654	CBAA4769		+0.2999
A5AA4769		+0.3943	CCAA4769		+0.3032
A6AA4769		+0.3379	CDAA4769		+0.3243
A7AA4769		+0.3408	CEAA4769		+0.2834
A8AA4769		+0.3152	CFAA4769		+0.2886
A9AA4769		+0.3348	D0AA4769		+0.3044
AAAA4769		+0.3061	D1AA4769		+0.3200
ABAA4769		+0.3169	D2AA4769		+0.2754
ACAA4769		+0.3163	D3AA4769		+0.2917
ADAA4769		+0.3349	D4AA4769		+0.3402
AEAA4769		+0.2935	D5AA4769		+0.3683
AFAA4769		+0.3045	D6AA4769		+0.3210
B0AA4769		+0.2644	D7AA4769		+0.3246
B1AA4769		+0.2847	D8AA4769		+0.2566
B2AA4769		+0.2416	D9AA4769		+0.2774

DAAA4769		+0.2402	EDAA4769		+0.3098
DBAA4769		+0.2492	EEAA4769		+0.2595
DCAA4769		+0.2764	EFAA4769		+0.2671
DDAA4769		+0.2992	F0AA4769		+0.2226
DEAA4769		+0.2479	F1AA4769		+0.2390
DFAA4769		+0.2556	F2AA4769		+0.1916
E0AA4769		+0.2947	F3AA4769		+0.2067
E1AA4769		+0.3085	F4AA4769		+0.2564
E2AA4769		+0.2647	F5AA4769		+0.2838
E3AA4769		+0.2808	F6AA4769		+0.2317
E4AA4769		+0.3481	F7AA4769		+0.2377
E5AA4769		+0.3739	F8AA4769		+0.2445
E6AA4769		+0.3183	F9AA4769		+0.2616
E7AA4769		+0.3229	FAAA4769		+0.2259
E8AA4769		+0.2844	FBAA4769		+0.2387
E9AA4769		+0.3017	FCAA4769		+0.2619
EAAA4769		+0.2671	FDAA4769		+0.2833
EBAA4769		+0.2807	FEAA4769		+0.2305
ECAA4769		+0.2873	FFAA4769		+0.2400

```

|-----|
|*****|
chiav_a = 47727365 , chiav_b = 65734769
|*****|
valore massimo = 65734769, valore +0.4571
|*****|

```

chiave		media				
				651E4769		+0.2685
				651F4769		+0.2893
65004769		+0.2603		65204769		+0.2217
65014769		+0.2711		65214769		+0.2359
65024769		+0.2949		65224769		+0.2590
65034769		+0.3195		65234769		+0.2858
65044769		+0.2234		65244769		+0.1909
65054769		+0.2374		65254769		+0.2063
65064769		+0.2267		65264769		+0.1946
65074769		+0.2483		65274769		+0.2164
65084769		+0.1842		65284769		+0.1720
65094769		+0.1927		65294769		+0.1812
650A4769		+0.2098		652A4769		+0.2061
650B4769		+0.2354		652B4769		+0.2329
650C4769		+0.2149		652C4769		+0.2097
650D4769		+0.2314		652D4769		+0.2279
650E4769		+0.2256		652E4769		+0.2171
650F4769		+0.2441		652F4769		+0.2386
65104769		+0.2730		65304769		+0.2810
65114769		+0.2829		65314769		+0.2933
65124769		+0.3065		65324769		+0.3250
65134769		+0.3324		65334769		+0.3530
65144769		+0.2491		65344769		+0.2509
65154769		+0.2644		65354769		+0.2667
65164769		+0.2512		65364769		+0.2501
65174769		+0.2690		65374769		+0.2728
65184769		+0.2269		65384769		+0.1944
65194769		+0.2338		65394769		+0.2051
651A4769		+0.2564		653A4769		+0.2259
651B4769		+0.2845		653B4769		+0.2569
651C4769		+0.2562		653C4769		+0.2367
651D4769		+0.2720		653D4769		+0.2560

653E4769		+0.2499	65654769		+0.2934
653F4769		+0.2742	65664769		+0.2877
65404769		+0.2733	65674769		+0.3082
65414769		+0.2838	65684769		+0.2744
65424769		+0.3187	65694769		+0.2811
65434769		+0.3446	656A4769		+0.3050
65444769		+0.2417	656B4769		+0.3317
65454769		+0.2535	656C4769		+0.2963
65464769		+0.2411	656D4769		+0.3105
65474769		+0.2655	656E4769		+0.3054
65484769		+0.1918	656F4769		+0.3232
65494769		+0.1999	65704769		+0.3890
654A4769		+0.2190	65714769		+0.3974
654B4769		+0.2453	65724769		+0.4311
654C4769		+0.2244	65734769		+0.4571
654D4769		+0.2398	65744769		+0.3559
654E4769		+0.2379	65754769		+0.3687
654F4769		+0.2581	65764769		+0.3569
65504769		+0.2927	65774769		+0.3781
65514769		+0.3021	65784769		+0.3048
65524769		+0.3265	65794769		+0.3108
65534769		+0.3543	657A4769		+0.3320
65544769		+0.2688	657B4769		+0.3619
65554769		+0.2842	657C4769		+0.3438
65564769		+0.2716	657D4769		+0.3578
65574769		+0.2930	657E4769		+0.3610
65584769		+0.2394	657F4769		+0.3836
65594769		+0.2479	65804769		+0.2046
655A4769		+0.2758	65814769		+0.2158
655B4769		+0.3080	65824769		+0.2435
655C4769		+0.2669	65834769		+0.2666
655D4769		+0.2809	65844769		+0.1744
655E4769		+0.2761	65854769		+0.1852
655F4769		+0.2986	65864769		+0.1787
65604769		+0.3088	65874769		+0.1996
65614769		+0.3186	65884769		+0.1498
65624769		+0.3382	65894769		+0.1566
65634769		+0.3591	658A4769		+0.1823
65644769		+0.2823	658B4769		+0.2005

658C4769		+0.1796	65B34769		+0.3467
658D4769		+0.1947	65B44769		+0.2605
658E4769		+0.1926	65B54769		+0.2738
658F4769		+0.2119	65B64769		+0.2602
65904769		+0.2223	65B74769		+0.2812
65914769		+0.2316	65B84769		+0.2185
65924769		+0.2555	65B94769		+0.2274
65934769		+0.2784	65BA4769		+0.2466
65944769		+0.2004	65BB4769		+0.2741
65954769		+0.2124	65BC4769		+0.2498
65964769		+0.2045	65BD4769		+0.2639
65974769		+0.2229	65BE4769		+0.2631
65984769		+0.1717	65BF4769		+0.2850
65994769		+0.1804	65C04769		+0.2494
659A4769		+0.2029	65C14769		+0.2595
659B4769		+0.2288	65C24769		+0.2814
659C4769		+0.1965	65C34769		+0.3030
659D4769		+0.2093	65C44769		+0.2271
659E4769		+0.2092	65C54769		+0.2383
659F4769		+0.2289	65C64769		+0.2267
65A04769		+0.2261	65C74769		+0.2511
65A14769		+0.2377	65C84769		+0.1786
65A24769		+0.2569	65C94769		+0.1872
65A34769		+0.2783	65CA4769		+0.2040
65A44769		+0.1980	65CB4769		+0.2297
65A54769		+0.2093	65CC4769		+0.2075
65A64769		+0.2034	65CD4769		+0.2210
65A74769		+0.2234	65CE4769		+0.2152
65A84769		+0.1846	65CF4769		+0.2356
65A94769		+0.1927	65D04769		+0.2582
65AA4769		+0.2172	65D14769		+0.2675
65AB4769		+0.2422	65D24769		+0.2881
65AC4769		+0.2147	65D34769		+0.3122
65AD4769		+0.2295	65D44769		+0.2398
65AE4769		+0.2220	65D54769		+0.2530
65AF4769		+0.2412	65D64769		+0.2399
65B04769		+0.2819	65D74769		+0.2593
65B14769		+0.2920	65D84769		+0.2157
65B24769		+0.3225	65D94769		+0.2228

65DA4769		+0.2441	65ED4769		+0.2533
65DB4769		+0.2688	65EE4769		+0.2465
65DC4769		+0.2460	65EF4769		+0.2690
65DD4769		+0.2573	65F04769		+0.3021
65DE4769		+0.2517	65F14769		+0.3128
65DF4769		+0.2736	65F24769		+0.3396
65E04769		+0.2380	65F34769		+0.3644
65E14769		+0.2506	65F44769		+0.2773
65E24769		+0.2712	65F54769		+0.2908
65E34769		+0.2948	65F64769		+0.2802
65E44769		+0.2068	65F74769		+0.3046
65E54769		+0.2180	65F84769		+0.2229
65E64769		+0.2108	65F94769		+0.2331
65E74769		+0.2333	65FA4769		+0.2563
65E84769		+0.2001	65FB4769		+0.2882
65E94769		+0.2086	65FC4769		+0.2607
65EA4769		+0.2310	65FD4769		+0.2754
65EB4769		+0.2566	65FE4769		+0.2743
65EC4769		+0.2378	65FF4769		+0.3003

Elenco delle figure

2.1	Schema di funzionamento del Keeloq nella fase di crittatura . . .	4
2.2	Schema di funzionamento del Keeloq nella fase di decrittatura . .	5
2.3	Schema a blocchi del dispositivo HCS 301	8
2.4	Schema di generazione delle chiavi dispositivo	9
2.5	Schema di generazione chiavi dispositivo dalla chiave costruttore	9
2.6	Organizzazione del pacchetto trasmesso	10
2.7	Formato di codifica di trasmissione dei bit	11
2.8	Schema di generazione del messaggio trasmesso	11
2.9	Schema del ciclo di trasmissione di un trasmettitore	12
2.10	Finestra di sincronizzazione dei codici seriali	13
3.1	Una panoramica degli attacchi software conosciuti sul Keeloq . .	16
3.2	Informazioni disponibili su un dispositivo crittografico	21
3.3	Scansione del consumo di potenza di una smart card in un ciclo di crittografia DES	22
4.1	Glitch in una porta AND	32
5.1	HCS301: Pinout e schema a blocchi del dispositivo	39
5.2	Configurazione standard HCS301	40
5.3	Setup di misurazione	40
5.4	Posizionamento del trigger rispetto alla zona di decodifica. Il bouncing del pulsante non permette di avere un trigger stabile sul quel fronte di salita	42

5.5	Relazione tra sample rate e tracce necessarie prima di avere successo nell'attacco [9]	43
5.6	Zone della traccia di potenza acquisita. Zona A: lettura della eeprom, zona B: codifica del Keeloq, zona C: inizio preambolo trasmissione	44
5.7	Traccia di potenza (colore rosso) e i picchi estratti dagli script automatici(colore blu). Lo script si aggancia correttamente alla traccia	45
5.8	Traccia di potenza (colore rosso) e i picchi estratti dagli script automatici(colore blu). Lo script non si aggancia alla traccia e non riesce ad estrarre i picchi	46
5.9	Traccia di potenza (colore rosso) e i picchi estratti dagli script automatici(colore blu). Lo script non riesce totalmente ad agganciarsi alla traccia. La causa maggiore di questo fenomeno è la dilatazione del clock che cambia leggermente durante l'elaborazione e rende difficile l'estrazione dei picchi	47
5.10	Zoom della traccia. I picchi intermedi riguardano le operazioni della codifica Keeloq, i picchi più alti lo shift del registro y che andremo a considerare i nostri valori intermedi	48
5.11	Rappresentazione del primo ciclo che recupera i primi 8 bit della chiave	50
5.12	Schema degli attacchi DPA: l'attacco viene ripetuto 8 volte in quanto vengono calcolati 8 bit della chiave ad ogni ciclo. I cicli utilizzano i risultati degli attacchi che li precedono.	52
5.13	Il grafico rappresenta tutti gli 8 cicli CPA da 8 bit che devono essere completati per poter recuperare tutta la chiave da 64 bit	53
5.14	Grafico di confronto tra il primo e l'ottavo ciclo CPA che rivelano i primi 8 bit e gli ultimi 8 bit della chiave	54
5.15	Le parti di colore arancione non sono coinvolte nella decodifica. Spostando il picco 528, da cui inizia l'attacco, i picchi vengono considerati in maniera diversa.	55

5.16 Grafico di correlazione mediata e deviazione standard relativa degli shift effettuati per individuare i picchi non coinvolti nella codifica Keeloq.	56
6.1 Acquisizione di due tracce di potenza dal ricevitore dello stesso periodo e scala, facendo elaborare al ricevitore gli stessi dati, nello stesso contesto	61

Bibliografia

- [1] A. Bogdanov, “Attacks on the keeloq block cipher and authentication systems.” vol. In 3rd Conference on RFID Security 2007 (RFIDSec 2007), 2007.
- [2] Microchip, “Hopping code decoder using a pic16c56,” vol. AN642, Available on <http://www.keeloq.boom.ru/decryption.pdf>, 1998.
- [3] A. Bogdanov, “Cryptanalysis of the keeloq block cipher,” 2007. [Online]. Available: <http://eprint.iacr.org/2007/055/>
- [4] D. W. Alex Biryukov, “Slide attacks,” vol. Proceedings of Fast Software Encryption 1999, volume 1636 of LNCS, Springer-Verlag, 1999.
- [5] —, “Advanced slide attacks,” vol. Proceedings of Fast Software Encryption 2000, volume 1807 of LNCS, Springer-Verlag, 2000.
- [6] G. V. B. Nicolas T. Curtis and D. Wagner, “Algebraic and slide attacks on keeloq,” vol. Proceedings of Fast Software Encryption 2008, Lecture Notes in Computer Science, Springer-Verlag, 2008.
- [7] O. D. E. B. B. P. Sebastian Indesteege, Nathan Keller, “A practical attack on keeloq.” [Online]. Available: <http://www.springerlink.com>
- [8] T. P. Stefan Mangard, Elisabeth Oswald, *Power Analysis Attacks*. Springer, 2001.

- [9] A. M. C. P. Thomas Eisenbarth, Timo Kasper, “On the power of power analysis in the real world: A complete break of the keeloq code hopping scheme.”